

VILNIAUS UNIVERSITETAS

Deimantė Ivanauskaitė

**PERIODONTO LIGŲ DIAGNOZAVIMAS:  
DANTINĖS ATAUGOS POKYČIŲ ANALIZĖ,  
TAIKANT SKIRTINGUS RENTGENINIO TYRIMO METODUS**

Daktaro disertacijos santrauka  
Biomedicinos mokslai, medicina (07 B)

Vilnius, 2011

Disertacija rengta 1999–2011 metais Vilniaus universitete Lietuvoje ir Malmès universitetė Švedijoje.

Disertacija ginama eksternu.

Moksliniai konsultantai:

prof. dr. Madeleine Rohlin (Malmès universitetas, Švedija);

prof. dr. Vytautė Pečiulienė (Vilniaus universitetas, biomedicinos mokslai, odontologija – 08B).

**Disertacija ginama Vilniaus universiteto Medicinos mokslo krypties taryboje:**

Pirmininkas

prof. dr. Janina Tutkuvienė (Vilniaus universitetas, biomedicinos mokslai, medicina – 07B).

Nariai:

doc. dr. Eglė Monastyreckienė (Lietuvos sveikatos mokslų universitetas, biomedicinos mokslai, medicina – 07B);

prof. dr. Alina Pūrienė (Vilniaus universitetas, biomedicinos mokslai, odontologija – 08B);

prof. dr. Antanas Šidlauskas (Lietuvos sveikatos mokslų universitetas, biomedicinos mokslai, odontologija – 08B);

prof. dr. Algirdas Edvardas Tamošiūnas (Vilniaus universitetas, biomedicinos mokslai, medicina – 07B).

Oponentai:

prof. habil. dr. Ričardas Kubilius (Lietuvos sveikatos mokslų universitetas, biomedicinos mokslai, odontologija – 08B);

doc. dr. Nomeda Rima Valevičienė (Vilniaus universitetas, biomedicinos mokslai, medicina – 07B).

Lietuvių kalbos redaktorė

Jurgita Valienė

Disertacija bus ginama viešame Medicinos mokslo krypties tarybos posėdyje 2011 m. birželio 16 d. 14 val. Vilniaus universiteto Medicinos fakulteto Didžiojoje auditorijoje (M. K. Čiurlionio g. 21, Vilnius).

Disertacijos santrauka išsiuntinėta 2011 m. gegužės d.

Su disertacija galima susipažinti Vilniaus universiteto bibliotekoje.

VILNIUS UNIVERSITY

Deimantė Ivanauskaitė

**ALVEOLAR BONE LOSS  
IN RADIOGRAPHIC MODALITIES  
FOR DIAGNOSIS OF PERIODONTAL DISEASE**

Doctoral dissertation  
Biomedical sciences, Medicine (07 B)

Vilnius, 2011

The research project was carried out at Malmö University, Sweden with the support of grant ref nr 2419/1998 (380/123) from the Swedish Institute and Vilnius University, Lithuania during the period 1999-2011.

**Scientific consultants:**

prof. dr. Madeleine Rohlin (Department of Oral and Maxillofacial Radiology, Malmö University, Sweden);

prof. dr. Vytautė Pečiuliénė (Vilnius University, Biomedical Sciences, Odontology – 08B).

**The dissertation is to be defended at the Doctoral Committee of Medicine of Vilnius University:**

**Head:**

prof. dr. Janina Tutkuvienė (Vilnius University, Biomedical Sciences, Medicine – 07B).

**Members:**

assoc. prof. dr. Eglė Monastyreckienė (Lithuanian University of Health Sciences, Biomedical sciences, Medicine – 07B).

prof. dr. Alina Pūrienė (Vilnius University, Biomedical Sciences, Odontology – 08B)

prof. dr. Antanas Šidlauskas (Lithuanian University of Health Sciences, Odontology – 08B)

prof. dr. Algirdas Edvardas Tamošiūnas (Vilnius University, Biomedical Sciences, Medicine – 07B).

**Opponents:**

prof. dr. habil. Ričardas Kubilius (Lithuanian University of Health Sciences, Odontology – 08B)

assoc. prof. dr. Nomeda Rima Valevičienė (Vilnius University, Biomedical Sciences, Medicine – 07B).

The dissertation will be defended at the open meeting of the Doctoral Committee of Medicine of Vilnius University on 16<sup>th</sup> of June, 2011, at 2.00 pm in the Main lecture Medicine faculty.

Address: Čiurlionio str. 21, LT-03101 Vilnius, Lithuania.

The summary of the doctoral dissertation was distributed on     <sup>th</sup> of May, 2011.  
The dissertation is available in the Library of Vilnius University.

## **Įvadas**

Periodontą sudaro dantenos, dantinė atauga, periodonto raiščiai ir cementas. Skiriamas viršūninis periodontas ir kraštinis periodontas. Vienos dažniausiu kraštinio periodonto ligų yra dantenų uždegimas (lot. *gingivitis*) ir lėtinis periodontitas (lot. *periodontitis chronica*).

Lėtinis periodontitas nevienodai paplitęs skirtingose šalyse ir tarp skirtingo amžiaus žmonių (Holtferet ir kt. 2010). Skudutytės ir kt. (2001) duomenimis, Lietuvoje lėtiniu periodontitu sirgo 82 proc. 35–44 metų amžiaus žmonių ir 95 proc. 65–74 metų amžiaus žmonių. Globienės (2001) duomenimis, 1999–2000 m. Lietuvoje kaimo vietovėse dantenų ir periodonto uždegimu sirgo 12–67 proc. (vidurkis 45,9 proc.) vyru ir 8–60 proc. (vidurkis 31,4 proc.) moterų nuo 25 iki 64 metų amžiaus. Epidemiologinių tyrimų rezultatai (Norderyd ir Huguson 1998; Globienė 2001) rodo, kad kuo žmogus yra vyresnis, tuo jo periodonto ligos yra sunkesnės. Globienės (2001) duomenimis, Lietuvoje dantenų ir periodonto uždegimu sirgo 12 proc. vyru bei 8 proc. moterų nuo 25 iki 34 metų amžiaus ir 43–67 proc. vyru bei 21–57 proc. moterų, vyresnių kaip 35 metų amžiaus. Tik maždaug 5 proc. 55–64 metų amžiaus žmonių kraštinis periodontas buvo sveikas ir jie nesirgo periodonto ligomis. Yra atliktas 26–37 metų amžiaus (amžiaus vidurkis 36,3 metai) suaugusių asmenų, kuriems nebuvo gydytas periodontitas, rentgeninis tyrimas ir įvertinta jų periodonto būklė (Pūrienė 1997; Pūrienė ir kt. 2003). Įvertinus šių asmenų panoramines rentgeno nuotraukas nustatyta, kad dantinės ataugos kaulo lygis svyravo nuo 21 iki 54 proc. danties šaknies ilgio (vidurkis 40 proc.) (Pūrienė 1997; Pūrienė ir kt. 2003), o tarpšaknio kaulo pažeidimas buvo 6 proc. (Pūrienė ir kt. 2003).

Ainamo ir kt. (1982) buvo pasiūlytas periodonto ligų gydymo reikmių indeksas (CPITN, angl. *Community Periodontal Index of Treatment Needs*), naudojamas epidemiologiniuose tyrimuose. Mackevičienės ir kt. (1999) duomenimis, skaičiuojant šį indeksą įvairaus amžiaus žmonėms Vilniuje ir Vilniaus krašte nustatyta, kad profesionali burnos higiena buvo reikalinga 6–47 proc. žmonių nuo 15 metų amžiaus. 16 proc. 25–34 metų amžiaus žmonių ir 26–62 proc. vyresnių kaip 34 metų amžiaus žmonių buvo reikalingas kompleksinis periodonto ligų gydymas (iskaitant ir periodonto chirurgiją).

Kaune įvertinus atsitiktinai atrinktų 65–72 metų amžiaus žmonių periodonto būklę nustatyta, kad 58,5 proc. žmonių buvo reikalinga profesionali burnos higiena, 20 proc. žmonių – net ir kompleksinis periodonto ligų gydymas (Zūbienė ir kt. 2008).

Diagnozuojant periodonto ligas būtina kompleksiškai ištirti pacientą. Tokio tyrimo neatsiejama dalis yra rentgeninis tyrimas. Gydytojai ieško tinkamiausių rentgeninio tyrimo metodų, bando juos taikyti klinikinėje praktikoje bei epidemiologiniuose tyrimuose. Blezer ir Ozonoff (1972) pasiūlė radiologinės diagnostikos suvokimo modelį, kurį sudaro trys dalys: psichofizinė, psichologinė ir nozologinė. Fryback ir Thornbury (1991) pasiūlė modelį, kuriame diagnostinis metodas radiologijoje vertinamas šešiomis pakopomis. Žemiausia pakopa yra rentgeno atvaizdo kokybė ar vizualioji kokybės analizė, turinti įtakos diagnozuojant ligas. Ši analizė priklauso nuo rentgeno įrangos ir taikomo metodo. Siūlomi įvairūs rentgeno atvaizdo kokybės vertinimo būdai (Kalifornijos odontologų asociacija 1977; Åkesson ir kt. 1989 ir 1992; Karališkoji radiologų kolegija ir Nacionalinė radiologinė apsaugos tarnyba 1994; Molander ir kt. 1995; Wakoh ir kt. 1998; Borg ir kt. 2000; Carmichael ir kt. 2000; Kaepller ir kt. 2000; Kitagawa ir kt. 2000; Dannewitz ir kt. 2002; Casanova ir Hainter-Neto 2004; Gijbels ir kt. 2004; Molander ir kt. 2004; Kaepller ir kt. 2006; Ivanauskaitė ir kt. 2008; Peker ir kt. 2009).

Vertinant rentgeno atvaizdo kokybę ir dantinės ataugos pokyčius bei tiksliai nustatant būklę ir diagnozuojant periodonto ligas įtakos gali turėti ir vertintojų kompetencija.

## ***Temos aktualumas ir praktinė reikšmė***

Diagnostinio tyrimo duomenys gali būti naudojami įvertinti burnos sveikata, diagnozuoti ligas, planuoti gydymą, vertinti gydymo rezultatus, taip pat ir epidemiologiniuose tyrimuose.

Gydytojo odontologo darbe paciento periodonto rentgeninis tyrimas atliekamas, kad būtų papildyti klinikinio tyrimo duomenys. Rentgeninio tyrimo metu yra tiksliau įvertinami dantinės ataugos pokyčiai, t. y. matuojama kaulo rezorbcija (atitikmenys angl. *alveolar bone resorption/horizontal resorption*) prie danties paviršiaus, nustatomas kaulo defektas (atitikmenys angl. *vertical bone defect/resorption*) prie danties paviršiaus ir tarpšaknio kaulo pažeidimas (angl. *furcation involvement*) tarp danties šaknų. Ir tik rentgeninio tyrimo metu galima išmatuoti dantinės ataugos kaulo lygi (atitikmenys angl. *alveolar bone level/high*).

Dantinės ataugos pokyčiams vertinti daromos rentgeno nuotraukos taikant vidinių burnos (angl. *intraoral*) rentgeno nuotraukų darymo metodus, t. y. kandimo (angl. *bitewing*) ar dantų šaknų (angl. *periapical*) rentgeno nuotraukų darymo metodus, ir išorinės burnos (angl. *extraoral*) rentgeno nuotraukos darymo metodą, t. y. panoraminės (angl. *panoramic*) rentgeno nuotraukos darymo metodą. Kiekvienas iš minėtų metodų turi privalumų ir trūkumų vertinant dantinės ataugos pokyčius ir diagnozuojant periodonto ligas.

Panoraminės rentgeno nuotraukos įvertinimo periodonto ligoms diagnozuoti tyrimų rezultatai skiriasi. Šiuo metu pasaulyje plačiai naudojama daugiafunkcinė rentgeno įranga „Scanora<sup>®</sup>“ (toliau šio skyriaus tekste vadina „Scanora<sup>®</sup>“), kuria atliekami veido ir žandikaulių srities rentgeniniai tyrimai taikant įvairias rentgeno nuotraukų darymo programas bei metodus. „Scanora<sup>®</sup>“ yra sukurta vėliau negu atliki panoraminės rentgeno nuotraukos darymo metodo ir panoraminės rentgeno nuotraukos vertės diagnozuojant periodonto ligas tyrimai. Panoraminė rentgeno nuotrauka, padaryta „Scanora<sup>®</sup>“ panoraminės rentgeno nuotraukos darymo dantų programa, pasižymi tuo, kad rentgeno

atvaizdas yra padidintas 1,7 karto. Tikėtina, kad tai turi įtakos rentgeno atvaizdo kokybei ir palengvina vertinimą bei ligų diagnostiką. Kol kas nėra tyrimų, kuriuose nagrinėjamas dantinės ataugos pokyčių periodonto ligoms diagnozuoti panoraminėje rentgeno nuotraukoje, padarytoje „Scanora®“, vertinimas. Dar nėra tirtas ir panoraminės rentgeno nuotraukos taikymas klinikinėje praktikoje ar epidemiologiniuose tyrimuose.

Norint įvertinti „Scanora®“ panoraminės rentgeno nuotraukos darymo dantų programa metodą ir panoraminę rentgeno nuotrauką periodonto ligoms diagnozuoti, galima atlikti panoraminės ir kaplių bei krūminių dantų kandimo rentgeno nuotraukų vizualiąją kokybės analizę ir palyginti rentgeno atvaizdo kokybę. Jei dantinės ataugos pokyčiams vertinti rentgeno nuotraukose rentgeno atvaizdo kokybė yra panaši, tai galbūt tikslingiau daryti panoraminę rentgeno nuotrauką, o ne vidines burnos (dantų šaknų ar kandimo) rentgeno nuotraukas. Be to, nėra tyrimų, kuriuose nagrinėjama, kaip atliekama panoraminės rentgeno nuotraukos vizualioji kokybės analizė periodonto ligoms diagnozuoti. Gali būti, kad vertintojai skirtingai vertina rentgeno atvaizdo kokybę nuotraukoje. Idomu palyginti, ar sutampa duomenys vertinant dantinės ataugos pokyčius panoraminėje rentgeno nuotraukoje ir kaplių bei krūminių dantų kandimo rentgeno nuotraukose, darytose taikant „Scanora®“ panoraminės rentgeno nuotraukos dantų programos ir kaplių bei krūminių dantų kandimo rentgeno nuotraukų darymo metodus.

Burnos sveikatos priežiūros srityje sisteminės apžvalgos atliekamos nagrinėjant profilaktikos ir gydymo metodus. Dantinės ataugos pokyčių periodonto ligoms diagnozuoti panoraminėje rentgeno nuotraukoje vertinimas kol kas dar nėra sistemiškai apžvelgtas.

Taigi, atlikus dantinės ataugos pokyčių panoraminėse rentgeno nuotraukose ir kaplių bei krūminių dantų kandimo rentgeno nuotraukose analizę ir padarius sisteminę literatūros apžvalgą, galima būtų pasiūlyti tinkamiausią rentgeno metoda periodonto ligoms diagnozuoti.

### ***Darbo tikslas***

Šio darbo tikslas – ištirti ir palyginti panoraminės rentgeno nuotraukos ir kaplių bei krūminių dantų rentgeno nuotraukų darymo metodų diagnostikos ypatybes vertinant dantinės ataugos pokyčius (kaulo lygi arba rezorbciją, kaulo defektą ir tarpšaknio kaulo pažeidimą) periodonto ligoms diagnozuoti.

### ***Darbo užduiniai***

1. Atliekti dantinės ataugos rentgeno atvaizdo vizualiąją kokybės analizę kaulo lygiui arba rezorbcijai matuoti, kaulo defektui ir tarpšaknio kaulo pažeidimui nustatyti panoraminėje rentgeno nuotraukoje ir kaplių bei krūminių dantų kandimo rentgeno nuotraukose ir palyginti rezultatus.
2. Ivertinti vertintojų rezultatus, gautus atliekant rentgeno atvaizdo vizualiąją kokybės analizę panoraminėje rentgeno nuotraukoje ir kaplių bei krūminių dantų kandimo rentgeno nuotraukose dantinės ataugos kaulo lygiui arba rezorbcijai matuoti, kaulo defektui ir tarpšaknio kaulo pažeidimui nustatyti.
3. Palyginti dantinės ataugos kaulo lygio arba rezorbcijos matavimo ir kaulo defekto bei tarpšaknio kaulo pažeidimo nustatymo rezultatus panoraminėje rentgeno nuotraukoje ir kaplių bei krūminių dantų kandimo rentgeno nuotraukose.
4. Ivertinti vertintojų rezultatus, gautus matuojant dantinės ataugos kaulo lygi arba rezorbciją ir nustatant kaulo defektą bei tarpšaknio kaulo pažeidimą panoraminėje rentgeno nuotraukoje ir kaplių bei krūminių dantų kandimo rentgeno nuotraukose.

5. Apibendrinti mokslinėje literatūroje pateiktus faktus apie vizualią kokybės analizę, diagnostinį tikslumą ir vertintojų rezultatus, gautus panoraminėje rentgeno nuotraukoje matuojant dantinės ataugos kaulo lygi arba rezorbciją, nustatant kaulo defektą ir tarpšaknio kaulo pažeidimą.

### ***Ginamieji teiginiai***

1. Vertintojų kompetencija skiriasi, todėl rentgeno atvaizdo vizualiosios kokybės analizės rezultatai turi įtakos vertinant dantinės ataugos pokyčius panoraminėje rentgeno nuotraukoje ir kaplių bei krūminių dantų rentgeno nuotraukose.
2. Dantinės ataugos pokyčiai panoraminėje rentgeno nuotraukoje ir kaplių bei krūminių dantų kandimo rentgeno nuotraukose yra vertinami panašiai.
3. Panoraminių rentgeno nuotraukų periodonto ligoms diagnozuoti tyrimų sisteminė paieška ir rezultatų sintezė parodo, kad atliekami šios srities tyrimai yra skirtingai suplanuoti, jiems pasirenkami skirtinių tiriamieji pavyzdžiai, be to, trūksta žinių apie diagnostikos tikslumo veiksmingumą, nes tokius tyrimus yra sudėtinga atlikti.

## **Medžiaga ir metodai**

Švedijoje išduotas leidimas atlikti tyrimą Lundo universiteto Etikos komiteto sprendimu (protokolo Nr. LU 628-99).

### ***Pacientai***

I tyrimą įtraukti 96 asmenys (44 vyrai ir 52 moterys), jų amžius – nuo 20 iki 89 metų. Tiriamieji turi dantų ir atvyko į Švedijos Malmės universiteto Burnos bei veido ir žandikaulių radiologijos departamento, kad būtų atliktas rentgeninis dantų ir šalia esančių audinių tyrimas.

### ***Rentgenografinis tyrimas***

Kiekvienam pacientui buvo padaryta panoraminė rentgeno nuotrauka (1 pav.) ir kaplių bei krūminių dantų kandimo rentgeno nuotraukos (2 pav.).

***1 pav. Panoraminė rentgeno nuotrauka***



**2 pav. Kaplių bei krūminių dantų kandimo rentgeno nuotraukos**



Panoraminė rentgeno nuotrauka daryta įranga „Scanora®“ („Soredex“, Helsinki, Suomija), nustačius panoraminę dantų programą (003) su rentgeno atvaizdo didinimu 1,7 karto, naudojant sustiprinančiuosius ekranus „Lanex medium“ ir rentgeno juostą „T-mat G“ („Eastman Kodak Co.“, Rochester, N.Y., JAV). Nustatyti darbo režimai: 4/2 (66 kV, 10 mA, 15 s), 4/3 (66 kV, 13 mA, 15 s), 4/4 (66 kV, 15 mA, 15 s), 4/5 (66 kV, 20 mA, 15 s), 4/6 (66 kV, 20 mA, 19 s), 4/7 (66 kV, 20 mA, 23 s) ar 5/5 (70 kV, 16 mA, 16 s). Vertikaliojoje plokštumoje rentgeno vamzdžio (rentgeno spinduliuotės) nuokrypis  $-5^\circ$  buvo pastovus. Rentgeno juostos ryškintos automatiniu ryškintuvu („Curix HT-33OU“, AGFA, Belgija) ryškaluose G138 I (AGFA, Belgija), ryškinimo trukmė 2 min., ryškalų temperatūra  $+32^\circ\text{C}$ .

Kaplių ir krūminių dantų kandimo rentgeno nuotraukos darytos dantų rentgeno aparatu „Heliudent 70“ („Siemens“, Erlangen, Vokietija), kurio darbo režimas 70 kV ir 7 mA, ekspozicijos laiko parametrai buvo 0,32–0,64 s. Vertikaliojoje plokštumoje vamzdžio su keturkampiu kolimatoriumi ( $30 \times 40 \text{ mm}^2$ ) nuokrypis  $+10^\circ$  ir 20 cm atstumas nuo židinio dėmės iki odos buvo pastovūs. Kandimo rentgeno nuotraukos darytos dantų rentgeno juostos laikikliu „Kwik-bite“ („Hawe-Neos Dental“, Gentilino, Šveicarija), šiuo atveju rentgeno juosta dėta gulsčiai, ir laikikliu „Take-All“ („Wijkström“, Menton, Prancūzija) ar naudojant vienkartinį kartoninį laikiklį, šiuo atveju rentgeno juosta dėta stačiai. Dantų rentgeno juostos „Ektaspeed Plus“ („Eastman Kodak Co.“, Rochester, N.Y., JAV) ryškintos automatiniu ryškintuvu („XR 24 Nova“, „Dürr Dental“, Bietigheim, Vokietija) ryškaluose „Kodac Readymatic“ („Eastman Kodak Co.“, Rochester, N.Y., JAV), ryškinimo trukmė 6 min., ryškalų temperatūra  $+28^\circ\text{C}$ . Kandimo rentgeno nuotraukos buvo įdėtos į matinius rėmelius („Trollhätteplast“ AB, Trollhättan, Švedija).

Rentgeno nuotraukų kokybė buvo įvertinta pagrindinio tyrėjo (darbo autoriaus) kaip gera arba bloga. Jei nuotraukos kokybė buvo bloga, pacientą saugant nuo papildomos apšvitos nuotrauka buvo perdaroma tik kartą.

### ***Vertinimai ir vertintojai***

Tyrėjai aptarė vertinimo kriterijus ir seką, buvo paruoštos vertinimo instrukcijos ir atlikta vertintojų kompetencijos patikra. Rentgeno nuotraukos buvo vertinamos pritemdytame kambarysteje padėtos ant negatoskopo. Kilus poreikiui, buvo naudotas du kartus didinantis didinamasis žiūronas. Panoraminė rentgeno nuotrauka ir kaplių ir krūminių dantų kandimo rentgeno nuotraukos buvo vertinamos po savaitės pertraukos.

Vertintojas įvertino rentgeno atvaizdo kokybę nuotraukoje. Jei atvaizdo kokybė buvo gera, vertintojas prie danties paviršiaus matavo dantinės ataugos kaulo lygi arba rezorbciją ir nustatė, ar yra kaulo defektas prie danties paviršiaus ir tarpšaknio kaulo pažeidimas tarp danties šaknų. Vertinimo duomenys buvo rašomi protokole „Rentgeno nuotraukų vertinimas“, kurį sudarė trys dantinės ataugos vertinimo dalys: 1. kaulo lygis arba rezorbcija; 2. kaulo defektas, 3. tarpšaknio kaulo pažeidimas. Šeši vertintojai užpildė pirmają, o penki – antrają ir trečiąją protokolo dalis.

Vertintojų patirtis dantų, veido ir žandikaulių radiologijos srityje buvo skirtinga: 1, 3, 7, 16, 19 ir 30 metų. Trys vertintojai yra specialistai veido ir žandikaulių radiologai, turintys 16, 19 ir 30 metų darbo patirtį. Vienas vertintojas metus dirbo veido ir žandikaulių radiologijos srityje ir yra specialistas periodontologas (pagrindinis tyrėjas, darbo autorius). Du vertintojai yra gydytojai odontologai, dirbantys veido ir žandikaulių radiologijos srityje 3 ir 7 metus ir studijuojantys veido ir žandikaulių radiologijos specialybę.

Trys vertintojai, kurių patirtis dirbant dantų, veido ir žandikaulių radiologijoje srityje buvo 7, 16 ir 19 metų, po keturių savaičių antrą kartą įvertino rentgeno atvaizdo kokybę nuotraukose ir, jei atvaizdo kokybė buvo gera, matavo dantinės ataugos kaulo lygi arba rezorbciją ir nustatė, ar yra kaulo defektas ir tarpšaknio kaulo pažeidimas.

### ***Dantys ir dantų paviršiai***

Dantinės ataugos kaulo lygis arba rezorbcija ir rentgeno atvaizdo kokybė rentgeno nuotraukose buvo įvertinta prie dantų paviršių. Žandikaulių antrųjų bei pirmųjų krūmininių dantų ir kaplių artimieji ir tolimieji paviršiai ir ilčių tolimieji paviršiai buvo suskirstyti į šešias grupes po šešis dantų paviršius (1 lentelė). Jei pacientai būtų turėję visus dantis, tai būtų buvę įvertinti 576 dantų paviršiai, tačiau buvo galima vertinti tik 499 dantų paviršius (245 viršutinio žandikaulio dantų paviršius ir 254 apatinio žandikaulio dantų paviršius). Jei rentgeno atvaizdo kokybė buvo įvertinta kaip nepakankama, nebuvo įmanoma išmatuoti dantinės ataugos kaulo lygio arba rezorbcijos prie danties paviršiaus.

Rentgeno nuotraukose rentgeno atvaizdo kokybei ir kaulo defektui prie dantų paviršių nustatyti buvo pasirinkti 96 pacientų žandikaulių antrųjų bei pirmųjų krūmininių dantų ir kaplių artimieji ir tolimieji paviršiai ir ilčių tolimieji paviršiai (1435 viršutinio žandikaulio dantų paviršiai ir 1450 apatinio žandikaulio dantų paviršių). Jei rentgeno atvaizdo kokybė buvo įvertinta kaip nepakankama, nebuvo įmanoma nustatyti kaulo defekto prie danties paviršiaus buvimo ar nebuvimo.

Rentgeno nuotraukose rentgeno atvaizdo kokybei ir tarpšaknio kaulo pažeidimui tarp danties šaknų nustatyti iš viso buvo vertinti 96 pacientų 584 krūminiai dantys (303 viršutinio žandikaulio krūminiai dantys ir 281 apatinio žandikaulio krūminis dantis) ir 164 viršutinio žandikaulio pirmieji kapliai.

I lentelė. Pilkame fone nurodytas dantų paviršius, kurių buvo atlitas dantų kaulo lygio arba rezorbijos ir rentgeno atvaizdo kokybės vertinimas, skaičiuose pacientų grupėse (*t* – tolimasis danties paviršius; *a* – artimasis danties paviršius)

Pacientų grupė		Viršutinio žandikaulio dantis												Apatinio žandikaulio dantis												
		<i>t</i>	<i>a</i>	<i>t</i>	<i>a</i>	<i>t</i>	<i>a</i>	<i>t</i>	<i>a</i>	<i>t</i>	<i>a</i>	<i>t</i>	<i>a</i>	<i>t</i>	<i>a</i>	<i>t</i>	<i>a</i>	<i>t</i>	<i>a</i>	<i>t</i>	<i>a</i>	<i>t</i>	<i>a</i>	<i>t</i>		
1		15	15	14																						
2				13	14	14																				
3						11	11	15																		
4								16	13	13																
5																		15	15	12						
6																							15	12	12	
Pacientų grupė		Viršutinio žandikaulio dantis												Apatinio žandikaulio dantis												
		<i>t</i>	<i>a</i>	<i>t</i>	<i>a</i>	<i>t</i>	<i>a</i>	<i>t</i>	<i>a</i>	<i>t</i>	<i>a</i>	<i>t</i>	<i>a</i>	<i>t</i>	<i>a</i>	<i>t</i>	<i>a</i>	<i>t</i>	<i>a</i>	<i>t</i>	<i>a</i>	<i>t</i>	<i>a</i>	<i>t</i>		
1																										
2																										
3																										
4																										
5																										
6																										

### ***Vizualioji kokybės analizė***

Kalifornijos odontologų asociacija (angl. *California Dental Association*) pasiūlė rentgeno atvaizdo kokybės kategorijas rentgeno atvaizdui rentgeno nuotraukoje vertinti (Quality evaluation of dental care. Guidelines for the assessment of clinical quality and professional performance. Radiographs 1977), o Åkesson ir kt. (1989a ir 1992b) jas pritaikė.

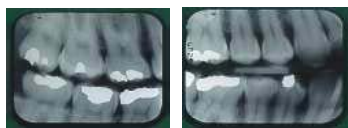
Remiantis minėtais šaltiniais, šiame tyime buvo apibrėžtos trys rentgeno atvaizdo dantinės ataugos kaulo lygiui arba rezorcijai vertinti kokybės kategorijos (3 ir 4 pav.):

1. Puikus – rentgeno atvaizdas kokybiškas (tinkamo optinio tankio, kontrastingas, aiškus, ryškus, be atvaizdo iškraipymo, gerai matomas) ir galima išmatuoti dantinės ataugos kaulo lygi arba rezorciją.
2. Pakankamas – rentgeno atvaizdas nėra geriausios kokybės, tačiau įmanoma išmatuoti dantinės ataugos kaulo lygi arba rezorciją.
3. Nepakankamas – rentgeno atvaizdas nekokybiškas, neįmanoma išmatuoti dantinės ataugos kaulo lygio arba rezorcijos.

*3 pav. Rentgeno atvaizdo dantinės ataugos kaulo lygiui arba rezorbcijai įvertinti kokybės kategorijos panoraminėje rentgeno nuotraukoje. 17 danties tolimojo paviršiaus ir artimojo paviršiaus, 16 ir 27 dantų tolimuju paviršiu rentgeno atvaizdas yra puikus; 27 danties artimojo paviršiaus rentgeno atvaizdas yra pakankamas; 23 danties tolimojo paviršiaus, 24 ir 25 dantų artimuju paviršiu ir tolimuju paviršiu, 26 danties artimojo paviršiaus rentgeno atvaizdas yra nepakankamas*



*4 pav. Rentgeno atvaizdo dantinės ataugos kaulo lygiui arba rezorbcijai įvertinti kokybės kategorijos dešinės pusės krūminių dantų ir kaplių kandimo rentgeno nuotraukose. 16 ir 15 dantų tolimuju paviršiu ir artimuju paviršiu rentgeno atvaizdas yra puikus; 17 ir 47 dantų tolimuju paviršiu rentgeno atvaizdas yra pakankamas*



Šiame tyime buvo apibrėžtos dvi rentgeno atvaizdo kaulo defektai ir tarpšaknio kaulo pažeidimui nustatyti kokybės kategorijos:

1. Pakankamas – rentgeno atvaizdas kokybiškas, galima prie danties paviršiaus nustatyti kaulo defektą, o tarp danties šaknų – tarpšaknio kaulo pažeidimą.

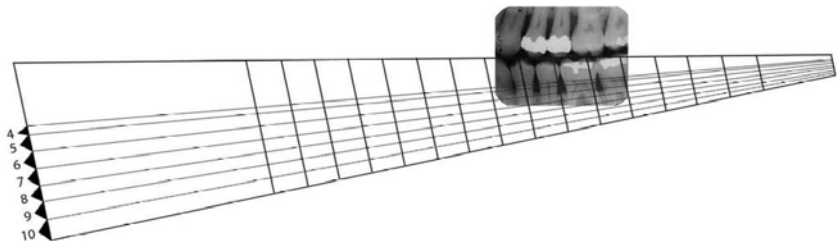
- Nepakankamas – rentgeno atvaizdas nekokybiskas, neįmanoma prie danties paviršiaus nustatyti kaulo defekto, o tarp danties šaknų – tarpšaknio kaulo pažeidimo.

### ***Dantinės ataugos pokyčių vertinimas***

Rentgeno nuotraukose buvo matuojamas kaulo lygis arba rezorbcija prie danties paviršiaus, nustatomas kaulo defektas prie danties paviršiaus ir tarpšaknio kaulo pažeidimas tarp danties šaknų.

Dantinės ataugos kaulo rezorbcija matuota Håkansson ir kt. (1981) aprašyta liniuote (5 pav.), kuri buvo sukurta dantinės ataugos kaulo lygiui matuoti, kai rentgeno nuotraukoje matoma dalis danties. Liniuotės horizontaliosios linijos atitinka juostas dantinės ataugos kaulo lygiui arba rezorbcijai matuoti, sužymėtas balais nuo 4 iki 10. Jei dantinės ataugos kaulo lygis yra įvertinamas 4 balais, kaulo rezorbcijos nėra. Kuo didesniu balu įvertinamas dantinės ataugos kaulo lygis, tuo didesnė yra kaulo rezorbcija.

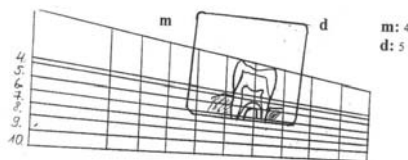
**5 pav. Håkansson ir kt. (1981) aprašyta liniuote matuojamas dantinės ataugos kaulo lygis arba rezorbcija kandimo rentgeno nuotraukoje**



Matuojant dantinės ataugos kaulo lygi arba rezorbciją prie danties paviršiaus, liniuotės vertikaliasios ir horizontaliosios linijos derinamos su rentgeno atvaizdu nuotraukoje. Liniuotė dedama ant danties taip, kad vertikalioji linija būtų lygiagreti su danties ašimi, o kraštiniės juostos horizontaliosios linijos būtų uždėtos ant danties vainiko krašto bei cemento

ir emalio ribos. Žiūrima, kurioje juosteje yra dantinės ataugos ketera, ir dantinės ataugos kaulo rezorbcija vertinama balais. Vertinimo instrukcijose buvo aprašyta, kaip matuoti dantinės ataugos kaulo lygi arba rezorbciją, ir pateiktas matavimo pavyzdys (6 pav.).

**6 pav. Vertinimo instrukcijose pateiktas dantinės ataugos kaulo lygio arba rezorbcijos matavimo pavyzdys  
(m – artimasis danties šaknies paviršius, d – tolimasis danties šaknies paviršius)**



Nustatant kaulo defekto prie danties paviršiaus buvimą ar nebuvimą, buvo žiūrima, ar matomas rentgeno atvaizdas būdingas vienos, dviejų ar trijų sienelių kaulo defektui (angl. *one-, two- three-wall bone defect*), vertikaliajai kaulo rezorbcijai (angl. *vertical bone resorption*). Vertinimo instrukcijose buvo pateikti keli kaulo defekto pavyzdžiai (7 pav.).

**7 pav. Vertinimo instrukcijose pateikti kaulo defekto pavyzdžiai**



Vertinant kaulą tarp daugiašaknio danties šaknų, kai buvo aiškiai matomas rentgeno spinduliuotę praleidžiantis atvaizdas, buvo nustatomas tarpšaknio kaulo pažeidimas (angl. *furcation involvement*) (8 pav.).

8 pav. Vertinimo instrukcijoje pateiktas tarpšaknio kaulo pažeidimo tarp danties šaknų pavyzdys



### Duomenų analizė

Rentgeno atvaizdo kokybė tirta pagal kategorijas panoraminėje rentgeno nuotraukoje ir kaplių bei krūminių dantų kandimo rentgeno nuotraukose, vertinimai išnagrinėti juos skaičiuojant absoliučiais skaičiais (angl. *number*) ir procentais nuo visų vertinimų skaičiaus.

Dantinės ataugos kaulo lygio arba rezorbcijos matavimai ir kaulo defektų bei tarpšaknio kaulo pažeidimo nustatymas panoraminėje rentgeno nuotraukoje ir kaplių bei krūminių dantų kandimo rentgeno nuotraukose buvo palyginti, vertinimų sutarimas (angl. *agreement*) suskaičiuotas absoliučiais skaičiais ir procentais nuo visų vertinimų skaičiaus. Nustatant kaulo defektus ir tarpšaknio kaulo pažeidimus buvo skaičiuotas panoraminės rentgeno nuotraukos ir kaplių bei krūminių dantų kandimo rentgeno nuotraukų jautrumas (angl. *sensitivity*). Abiejų rentgeninio tyrimo metodų bendri įvertinimai naudoti kaip rentgenografinis standartas.

Norint įvertinti rentgeno atvaizdo įtaką dantinės ataugos kaulo lygiui arba rezorbcijai nustatyti, pirmiausia buvo suskaičiuoti rentgeno atvaizdai, kurių kokybė buvo puiki ir kuriuose dantinės ataugos kaulo lygis arba rezorbcija buvo matuota vienodais balais tiriant abiem rentgeninio tyrimo metodais. Vėliau suskaičiuoti rentgeno atvaizdai, kurių kokybė buvo įvertinta kaip puiki tik vieno iš rentgeninio tyrimo metodų metu ir kurie buvo matuoti vienodais balais. Rentgeninio tyrimo metodų vertinimų atitikimas (angl. *concordance*) suskaičiuotas ir išreikštas kaip bendras sutarimas (angl. *overall agreement*) ir *kappa* koeficientu.

Buvo nagrinėtas vertintojo sutarimas (angl. *intra-observer agreement*) pagal trijų vertintojų rezultatus. Vertintojo sutarimas suskaičiuotas bendru sutarimu procentais ir *kappa* koeficientu.

Buvo nagrinėtas vertintojų sutarimas (angl. *inter-observer agreement*) pagal šešių ir penkių vertintojų rezultatus. Vertintojų sutarimas suskaičiuotas bendru sutarimu procentais ir *kappa* koeficientu. Be to, nagrinėtas vertintojų poros sutarimas (angl. *observer agreement for pairs*) ir suskaičiuotas bendru sutarimu procentais ir pasvertuoju *kappa* koeficientu (angl. *weighted kappa*) bei *kappa* koeficientu.

Landis ir Koch (1977) pasiūlė, kaip suprasti ir aiškinti sutarimą, išreikštą *kappa* koeficientu. Kai *kappa* koeficiente reikšmė mažesnė už 0, vertintojų tarpusavio sutarimo nėra (angl. *poor*), kai reikšmė yra nuo 0,00 iki 0,20 – vertintojų sutarimas yra blogas (angl. *slight*), nuo 0,21 iki 0,40 – ribinis (angl. *fair*), nuo 0,41 iki 0,60 – vidutinis (angl. *moderate*), nuo 0,60 iki 0,80 – geras (angl. *sustancial*), o jei reikšmė didesnė kaip 0,81 – vertintojų sutarimas puikus (angl. *perfect*).

### ***Sisteminė literatūros apžvalga***

Sisteminė literatūros apžvalga buvo atliekama naudojant Goodman (1996) pasiūlytą metodiką, kurią sudaro šie etapai: 1. klausimo formulavimas; 2. literatūros paieškos plano formavimas; 3. literatūros paieška ir leidinių atranka; 4. duomenų išgryninimas ir literatūros šaltiniuose įrodytų faktų vertinimas.

Pradedant sisteminę literatūros apžvalgą, buvo iškelti šie klausimai:

Kokie įrodyti faktai apie vizualiajų kokybės analizę yra pateikti mokslinėje literatūroje?

Kokie įrodyti faktai apie diagnostinį tikslumą yra pateikti mokslinėje literatūroje?

Buvo išskirti šie terminai:

- Radiografija, panoraminė (angl. *Radiography, Panoramic*);
- Periodonto ligos (angl. *Periodontal Diseases*).

Jie paimti iš elektroninės duomenų bazės „Medicininio dalyko pavadinimas“ (angl. *Medical Subject Headings (MeSH)*)

(<http://www.ncbi.nlm.nih.gov/entrez/query.fcgi?CMD=search&DB=mesh>).

Elektroninėje duomenų bazėje „Medicininio dalyko pavadinimas“ nėra terminų „vizualioji kokybės analizė“ (angl. *Visual grading analysis*) ir „diagnostinis tikslumas“ (angl. *Diagnostic accuracy*) apibrėžimo, todėl šioje sisteminėje paieškoje šiems terminams parinkti atitikmenys.

Termino „vizualioji kokybės analizė“ atitikmenys: rentgeno atvaizdas matomas arba nematomas, išskaitomas arba neišskaitomas, išaiškinamas arba neišaiškinamas, išmatuojamas arba neišmatuojamas.

Termino „diagnostinis tikslumas“ atitikmenys: panoraminės rentgeno nuotraukos ir kitų diagnostinių metodų atitikimas arba koreliacija, teisingų ir neteisingų diagnozių skaičius, procentinė teisingų diagnozių dalis, jautrumas ir specifiškumas prognozuojant vertes, ROC kreivės vertinimai, vertintojų kompetencija.

Elektroninėje duomenų bazėje „The Cochrane Library“ paieška atlikta įrašant terminą „Panoraminė radiografija“ (angl. *Panoramic radiography*). Literatūros paieška atlikta ir elektroninėje duomenų bazėje „Medline®“, „PubMed®“ (*Entrez retrieval system, NCBI at the NLM, JAV*) (2 lentelė).

**2 lentelė. Paieškos strategija ir atrastų leidinių absolutus skaičius (n), kai buvo naudojami elektroninės duomenų bazės „Medicininio dalyko pavadinimas“ (angl. *Medical Subject Headings (MeSH)*) terminai ir pažymėti paieškos aprubojimai**

Paieškos terminai	Leidiniai (n)
#1 „Radiografija, panoraminė“ (angl. <i>Radiography, Panoramic [MeSH]</i> )	1 478
#2 „Periodonto ligos“ (angl. <i>Periodontal Diseases [MeSH]</i> )	16 876
#3 #1 ir (angl. <i>AND</i> ) #2	278

*Paieškos aprubojimai:* leidiniai tik su santrauka, tyrimas su žmonėmis, anglų kalba, tiriamieji suaugę: 19 metų ir vyresni

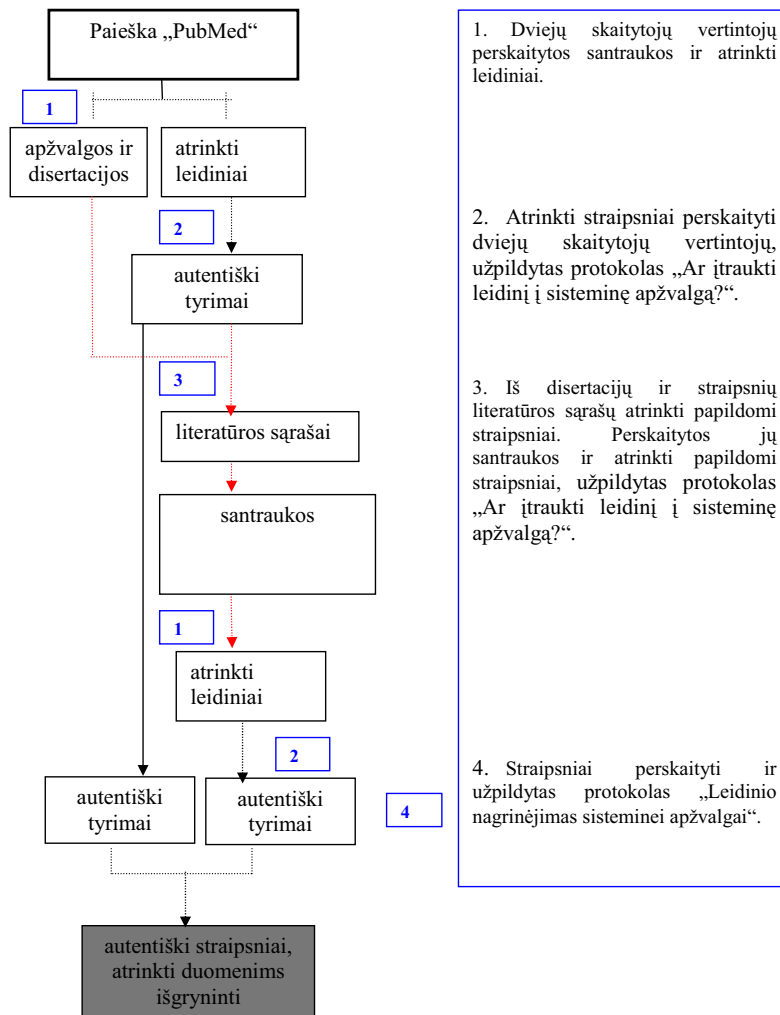
*Leidinių data nuo 1974-01-01 iki 2010-06-30*

*Duomenų bazėje (PubMed®) paieška atlikta 2010-08-16*

Literatūros paiešką ir leidinių atranką vykdė du skaitytojai vertintojai (angl. *reader*), kurių darbo patirtis ruošiant sistemines literatūros apžvalgas buvo 4 ir 15 metų. Skaitytojai vertintojai perskaitė leidinių pavadinimus ir santraukas. Toliau nagrinėti buvo atrinkti tik autentiški tyrimai (angl. *original study*), straipsniai perskaityti ir užpildomas protokolas „Ar įtraukti leidinį į sisteminę apžvalgą?“. Sprendimų priėmimo (angl. *decision making*) tyrimai, tūrinės ar medicininės (daugiasluoksnės) kompiuterinės tomografijos tyrimai, atvejų pristatymai nebuvo nagrinėjami.

Buvo peržiūrėti atrinktų straipsnių literatūros sąrašai. Jei juose buvo randamas straipsnis, kurio pavadinime buvo terminai „panoraminė rentgenografija“ (angl. *panoramic radiography*), „periodonto ligos“ (angl. *periodontal diseases*) arba „atvaizdo kokybė“ (angl. *image quality*), jis buvo perskaitytas, o jo vertinimas įtrauktas į protokolą „Ar įtraukti leidinį į sisteminę apžvalgą?“. Literatūros paieška ir straipsnių atranka, kurią vykdė du skaitytojai vertintojai, pateikta 9 pav.

*9 pav. Leidinių atrankos schema pagal Ribeiro-Rotta ir kt. (2007). Skaičiais pažymėti paieškos etapai*



Paskutiniu paieškos etapu abu skaitytojai vertintojai nepriklausomai vienas nuo kito perskaitė straipsnius ir užpildė protokolą „Leidinio nagrinėjimas sistemei apžvalgai“. Šis protokolas buvo paruoštas pagal Whiting ir kt. (2003) rekomendacijas „Diagnostinio tikslumo tyrimų kokybės įvertinimas“ (angl. *Quality Assessment of Diagnostic Accuracy Studies (QUADAS)*) ir pagal Jaeschke ir kt. (1994).

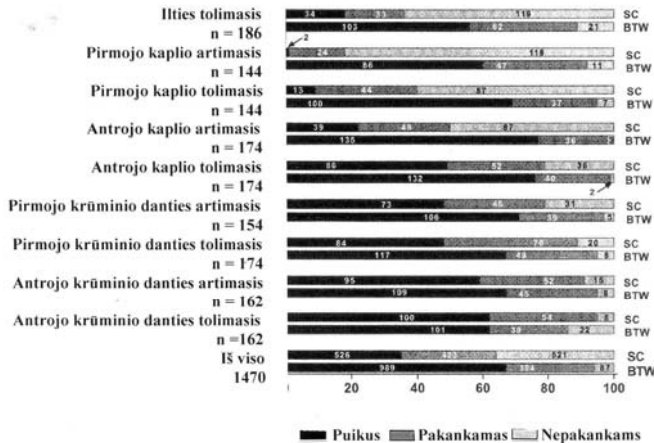
## **Rezultatai**

### *Vizualioji kokybės analizė*

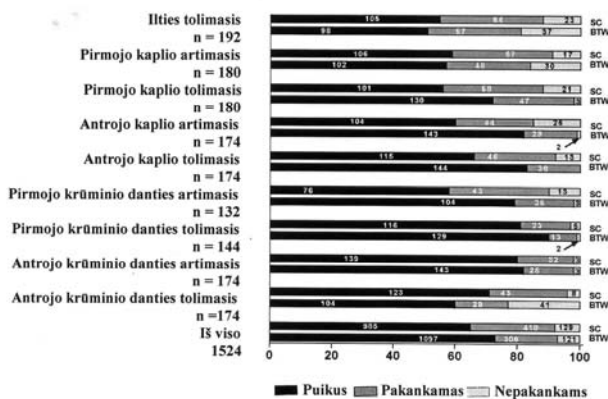
Panoraminėje rentgeno nuotraukoje ir kaplių bei krūminių dantų kandimo rentgeno nuotraukose rentgeno atvaizdo dantinės ataugos kaulo lygiui arba rezorbcijai matuoti kokybę vertino 6 vertintojai. Jie įvertino 499 rentgeno atvaizdus prie dantų paviršių, taigi gauta po 2 994 vertinimus taikant kiekvieną rentgeninio tyrimo metodą. Rentgeno atvaizdo kokybės vertinimą pagal kategorijas „Puikus“, „Pakankamas“, „Nepakankamas“, matome 10 pav. ir 3 lentelėje. Panoraminėse rentgeno nuotraukose 65 proc. rentgeno atvaizdų prie viršutinio žandikaulio dantų paviršių buvo įvertinti kaip puikios arba pakankamos kokybės, o kandimo rentgeno nuotraukose šiuos kokybės vertinimus atitiko 94 proc. rentgeno atvaizdų. 92 proc. rentgeno atvaizdų prie apatininio žandikaulio dantų paviršių kokybę buvo įvertinta kaip puiki arba pakankama abiejų metodų taikymo atveju.

**10 pav. Vizualiosios kokybės analizės dantinės ataugos kaulo lygiui arba rezorbčijai matuoti prie viršutinio žandikaulio ir apatinio žandikaulio dantų paviršių rezultatai (n – absolutus skaičius). Panoraminėje rentgeno nuotraukoje (SC) ir kandimo rentgeno nuotraukoje (BTW) rentgeno atvaizdo kokybę pagal kategorijas „Puikus“, „Pakankamas“ ir „Nepakankamas“ vertino 6 vertintojai. Vertinimų absolitus skaičius (n) matomas juostose**

**Viršutinis žandikaulis**



**Apatinis žandikaulis**



3 lentelė. Vizualioji kokybės analizė dantinės ataugos kaulo lygiui arba rezorbčiai matuoti. Panoraminėje rentgeno nuotraukoje ir kandimo rentgeno nuotraukose rentgeno atvaiždo kokybę pagal kategorijas „Puikus“ (angl. excellent) (E), „Pakankamas“ (angl. acceptable) (A) ir „Nepakankamas“ (angl. unacceptable) (U) vertino 6 vertintojai. Rezultatas išreištas procenčiais (n – absolutus skaičius)

Viršutinis žandikaulis								Apatinis žandikaulis							
n	Panoraminė rentgeno nuotrauka			Kandimo rentgeno nuotraukos			Danties paviršius	Panoraminė rentgeno nuotrauka			Kandimo rentgeno nuotraukos			n	
	proc.	E	A	U	proc.	E	A	U	proc.	E	A	U	proc.		
186	18	18	64	56	33	11	Ilties tolimasis	55	33	12	51	30	19	192	
144	1	17	82	60	32	8	Pirmajo kaplio artimasis	59	32	9	57	26	17	180	
144	9	31	60	69	26	5	Pirmajo kaplio tolimasis	56	32	12	72	26	2	180	
174	22	28	50	77	21	2	Antrojo kaplio artimasis	60	25	15	82	17	1	174	
174	49	30	21	76	23	1	Antrojo kaplio tolimasis	66	27	7	83	17	0	174	
150	49	30	21	71	26	3	Pirmajo krūminio danties artimasis	58	32	10	79	19	2	132	
174	48	40	12	67	28	5	Pirmajo krūminio danties tolimasis	81	16	3	90	9	1	144	
162	59	32	9	67	28	5	Antrojo krūminio danties artimasis	80	18	2	82	16	2	174	
162	62	33	5	62	24	14	Antrojo krūminio danties tolimasis	71	25	4	60	17	23	174	
1470	36	29	35	67	27	6	Iš viso	65	27	8	72	20	8	1524	

Panoraminėje rentgeno nuotraukoje ir kaplių bei krūminių dantų kandimo rentgeno nuotraukose rentgeno atvaizdo kaulo defektui nustatyti prie danties paviršiaus kokybę pagal kokybės kategorijas „Pakankamas“ ir „Nepakankamas“ vertino 5 vertintojai. Jie įvertino 2 885 rentgeno atvaizdus prie dantų paviršių, taigi gauta po 14 425 vertinimus taikant kiekvieną rentgeninio tyrimo metodą. Abiejų rentgeninio tyrimo metodų rentgeno nuotraukose rentgeno atvaizdo kokybės kategorijai „Pakankamas“ buvo priskirta 65 proc. rentgeno atvaizdų prie viršutinio žandikaulio dantų paviršių ir 93 proc. rentgeno atvaizdų prie apatinio žandikaulio dantų paviršių. 4 lentelėje pateiktas kokybės kategorijų pasiskirstymas pagal žandikaulių dantų grupes.

Panoraminėje ir kaplių bei krūminių dantų kandimo rentgeno nuotraukose rentgeno atvaizdo tarpšaknio kaulo pažeidimui nustatyti tarp danties šaknų kokybę pagal kokybės kategorijas „Pakankamas“ ir „Nepakankamas“ vertino 5 vertintojai. Jie įvertino 748 daugiašaknių dantų šaknis, taigi gauta po 3 740 vertinimų taikant kiekvieną rentgeninio tyrimo metodą. Abiejų rentgeninio tyrimo metodų rentgeno nuotraukose rentgeno atvaizdo kokybės kategorijai „Pakankamas“ buvo priskirta dauguma atvaizdų. Tik 59 rentgeno atvaizdai buvo įvertinti kaip nepakankami.

*4 lentelė. Vizualioji kokybės analizė kaulo defektui nustatyti. Panoraminėje rentgeno nuotraukoje (SC), kandimo rentgeno nuotraukoje (BTW) ir abiejose rentgeno nuotraukose (SC+BTW) rentgeno atvaiždo kokybę pagal kategorijas „Pakankamas“ (angl. acceptable) (A) ir „Nepakankamas“ (angl. unacceptable) (U) vertino 5 vertintojai. Rezultatas išreiškštas procentais (n – absolitus skaičius)*

Viršutinis žandikaulis						Apatinis žandikaulis					
A		U				A		U			
SC + BTW	SC	BTW	SC + BTW	SC + BTW	Danties paviršius	SC + BTW	SC	BTW	SC + BTW	n	
n	proc.	proc.	proc.	proc.		proc.	proc.	proc.	proc.		
935	38	58	1	3	Ilties tolimasis	88	5	6	1	950	
820	32	66	0,4	2	Pirmajo kaplio artimasis	89	5	5	1	900	
820	52	47	0,4	1	Pirmajo kaplio tolimasis	92	7	0,4	0,3	900	
785	50	48	1	1	Antrojo kaplio artimasis	92	7	0,2	0,4	845	
785	74	25	1	0,1	Antrojo kaplio tolimasis	93	7	0	0,1	845	
765	75	25	0,4	0,1	Pirmajo krūminio danties artimasis	91	9	0,2	0,2	645	
765	89	9	1	1	Pirmajo krūminio danties tolimasis	99	1	0,2	0	645	
750	90	8	1	1	Antrojo krūminio danties artimasis	99	1	0	0	760	
750	89	5	6	0,4	Antrojo krūminio danties tolimasis	6	0,3	4	0	760	
<b>7175</b>	<b>65</b>	<b>32</b>	<b>1</b>	<b>1</b>	<b>Iš viso</b>	<b>93</b>	<b>5</b>	<b>2</b>	<b>0,4</b>	<b>7250</b>	

Vertintojo sutarimas pagal trijų vertintojų rezultatus, gautus vertinant rentgeno atvaizdo dantinės ataugos kaulo lygiui arba rezorbcijai matuoti ir kaulo defektui nustatyti kokybę panoraminėje rentgeno nuotraukoje ir kandimo rentgeno nuotraukose, pateiktas 5 lentelėje.

**5 lentelė. Vertintojo sutarimas vertinant rentgeno atvaizdo dantinės ataugos kaulo lygiui arba rezorbcijai matuoti ir kaulo defektui nustatyti kokybę panoraminėje rentgeno nuotraukoje ir kandimo rentgeno nuotraukose. Rezultatas išreiškštis procentais (proc.) ir kappa koeficientu ( $\kappa$ )**

Vertintojas	Dantinės ataugos kaulo lygis/rezorbcija				Kaulo defektas			
	Panoraminė rentgeno nuotrauka		Kandimo rentgeno nuotraukos		Panoraminė rentgeno nuotrauka		Kandimo rentgeno nuotraukos	
	proc.	$\kappa$	proc.	$\kappa$	proc.	$\kappa$	proc.	$\kappa$
1	76	0,59	78	0,56				
2	87	0,75	89	0,49	93	0,79	98	0,34
3	82	0,63	91	0,42	93	0,81	98	0,62
4					95	0,88	98	0,32

Bendras vertintojo sutarimas pagal trijų vertintojų rezultatus, gautus vertinant rentgeno atvaizdo tarpšaknio kaulo pažeidimui nustatyti kokybę, taikant abu rentgeninio tyrimo metodus buvo 93–98 procentai.

Vertintojų sutarimas pagal šešių vertintojų rezultatus, gautus vertinant rentgeno atvaizdo dantinės ataugos kaulo lygiui arba rezorbcijai matuoti kokybę, panoraminėje rentgeno nuotraukoje buvo vidutinis ( $\kappa = 0,45$ ), kandimo rentgeno nuotraukose – ribinis ( $\kappa = 0,28$ ). *Kappa* koeficientas buvo mažiausias abiejų rentgeninio tyrimo metodų nuotraukose, kai rentgeno atvaizdas buvo priskirtas kokybės kategorijai „Pakankamas“ (panoraminėje rentgeno nuotraukoje  $\kappa = 0,26$ , kandimo rentgeno nuotraukose  $\kappa = 0,22$ ). Didžesnis *kappa* koeficientas buvo tais atvejais, kai rentgeno atvaizdas buvo priskirtas

kokybės kategorijai „Puikus“ (panoraminėje rentgeno nuotraukoje  $\kappa = 0,52$ , kandimo rentgeno nuotraukose  $\kappa = 0,31$ ) ir kai rentgeno atvaizdas buvo priskirtas kokybės kategorijai „Nepakankamas“ (panoraminėje rentgeno nuotraukoje  $\kappa = 0,64$ , kandimo rentgeno nuotraukose  $\kappa = 0,46$ ).

Vertintojų sutarimas pagal penkių vertintojų rezultatus, gautus vertinant rentgeno atvaizdo kaulo defektui nustatyti kokybę, panoraminėje rentgeno nuotraukoje buvo geras ( $\kappa = 0,62$ ), kandimo rentgeno nuotraukose – ribinis ( $\kappa = 0,25$ ).

Vertintojų poros sutarimas vertinant rentgeno atvaizdo dantinės ataugos kaulo lygiu arba rezorbcijai matuoti ir kaulo defektui nustatyti kokybę pateiktas 6 ir 7 lentelėse.

**6 lentelė. Vertintojų poros sutarimas. Šeši vertintojai vertino rentgeno atvaizdo dantinės ataugos kaulo lygiu arba rezorbcijai matuoti kokybę pagal kokybės kategorijas „Puikus“, „Pakankamas“ arba „Nepakankamas“. Rezultatas išreištas bendru sutarimu procentais (proc.), pasvertuoju kappa koeficientu ( $\kappa_w$ ) ir kappa ( $\kappa$ ) koeficientu**

Vertintojų pora	Dantinės ataugos kaulo lygis/rezorbcija		
	Panoraminė rentgeno nuotrauka		Kandimo rentgeno nuotraukos
	proc.	$\kappa_w$	$\kappa$
1/2	89	0,61	0,53
1/3	90	0,59	0,50
1/4	85	0,53	0,45
1/5	62	0,47	0,37
1/6	43	0,33	0,19
2/3	91	0,63	0,52
2/4	87	0,61	0,53
2/5	65	0,55	0,44
2/6	46	0,39	0,26
3/4	85	0,51	0,39
3/5	67	0,56	0,47
3/6	44	0,35	0,23
4/5	65	0,56	0,44
4/6	52	0,45	0,33
5/6	45	0,31	0,20
			51
			0,24
			0,18

**7 lentelė. Vertintojų poros sutarimas. Penki vertintojai vertino rentgeno atvaizdo kaulo defektui nustatyti kokybę pagal kokybės kategorijas „Pakankamas“ ar „Nepakankamas“. Rezultatas išreikštasis bendru sutarimu procentais (proc.) ir kappa ( $\kappa$ ) koeficientu**

Vertintojų pora	Kaulo defektas			
	Panoraminė rentgeno nuotrauka		Kandimo rentgeno nuotraukos	
	proc.	$\kappa$	proc.	$\kappa$
2/3	91	0,73	97	0,19
2/4	88	0,67	98	0,13
2/5	90	0,60	97	0,11
2/6	90	0,63	96	0,15
3/4	91	0,76	97	0,27
3/5	86	0,53	96	0,26
3/6	88	0,62	96	0,40
4/5	83	0,49	97	0,11
4/6	86	0,60	96	0,23
5/6	88	0,51	96	0,38

Vertintojų sutarimas pagal penkių vertintojų rezultatus, gautus vertinant rentgeno atvaizdo tarpšaknio kaulo pažeidimui nustatyti kokybę, panoraminėje rentgeno nuotraukoje buvo 97 proc. ( $\kappa = 0,02$ ), kandimo rentgeno nuotraukose – 96 proc. ( $\kappa = 0,06$ ). Vertintojų poros sutarimas ir panoraminėje rentgeno nuotraukoje, ir kandimo rentgeno nuotraukose buvo didelis (atitinkamai 97–98 proc. ir 96–100 proc.), tačiau *kappa* koeficientai abiejų rentgeninio tyrimo metodų nuotraukose buvo labai maži.

### **Dantinės ataugos pokyčių vertinimas**

Panoraminėje rentgeno nuotraukoje ir kaplių bei krūminių dantų kandimo rentgeno nuotraukose rentgeno atvaizdo dantinės ataugos kaulo lygiiui arba rezorbacijai matuoti kokybę buvo įvertinta kiekvieno rentgeninio tyrimo metodo nuotraukose po 2 994 kartus. 647 rentgeno atvaizdai prie viršutinio žandikaulio dantų paviršių ir 374 rentgeno atvaizdai prie apatinio žandikaulio dantų paviršių buvo priskirti kokybės kategorijai „Nepakankamas“ vieno ar abiejų rentgeninio tyrimo metodų nuotraukose. Kiti rentgeno atvaizdai buvo priskirti kokybės kategorijoms „Puikus“ ar „Pakankamas“. Prie 823 viršutinio žandikaulio

dantų paviršių ir 1150 apatinio žandikaulių dantų paviršių buvo išmatuotas dantinės ataugos kaulo lygis arba rezorcija balais.

Dantinės ataugos kaulo lygio arba rezorcijos matavimai prie žandikaulių dantų paviršių ir rezultatų palyginimas abiejų rentgeninio tyrimo metodų rentgeno nuotraukose pateiktas 8 lentelėje.

Matuojant dantinės ataugos kaulo lygi arba rezorciją balais sutapo 56 proc. viršutinio žandikaulio ir 58 proc. apatinio žandikaulio nuotraukų, darytų taikant abu rentgeninio tyrimo metodus, vertinimai. Tais atvejais, kai matavimai skyrėsi balu, sutapo 95 proc. viršutinio žandikaulio ir 94 proc. apatinio žandikaulio nuotraukų vertinimų. Rentgeno atvaizdo kokybės kategorijos „Puikus“ ar „Pakankamas“ neturėjo įtakos matuojant dantinės ataugos kaulo lygi arba rezorciją balais, nes buvo gautas 57 proc. ( $\kappa = 0,32$ ) sutarimas tarp abiejų rentgeninio tyrimo metodų nepriklausomai nuo to, ar rentgeno atvaizdas buvo priskirtas kokybės kategorijai „Puikus“ abiejų rentgeninio tyrimo metodų nuotraukose ar tik vieno metodo nuotraukose.

Panoraminėje rentgeno nuotraukoje ir kaplių bei krūminių dantų kandimo rentgeno nuotraukose rentgeno atvaizdo kaulo defektui nustatyti kokybė buvo įvertinta kiekvieno rentgeninio tyrimo metodo nuotraukose po 14 425 kartus. 2 558 rentgeno atvaizdai prie viršutinio žandikaulio dantų paviršių ir 529 rentgeno atvaizdai prie apatinio žandikaulio dantų paviršių buvo priskirti kokybės kategorijai „Nepakankamas“ vieno ar abiejų rentgeninio tyrimo metodų nuotraukose. Kiti rentgeno atvaizdai buvo priskirti kokybės kategorijai „Pakankamas“, taigi kaulo defekto buvimas ar nebuvimas buvo nustatomas prie 4614 viršutinio žandikaulio dantų paviršių ir prie 6 724 apatinio žandikaulio dantų paviršių. Kaulo defekto nustatymo atvejai prie žandikaulių dantų paviršių ir rezultatų palyginimas abiejų rentgeninio tyrimo metodų rentgeno nuotraukose pateiktas 9 lentelėje.

Panoraminės rentgeno nuotraukos jautrumas nustatant kaulo defektą buvo 0,73, o kandimo rentgeno nuotraukų jautumas – 0,53.

*8 lentelė. Dantinės ataugos kaulo lygio arba rezorbcijos matavimų balais sutarimas ir nesutarimas panoraminėje rentgeno nuotraukoje ir kandimo rentgeno nuotraukose. 6 vertintojų vertinimai išreikšti absoliučiu skaičiumi (n) ir procentais (proc.)*

Danties paviršius n	<i>Sutarimas (proc.)</i>		<i>Nesutarimas (proc.)</i>	
	Vienodai matuotas kaulo lygis/rezorbcija	Mažesnė kaulo rezorbcija	Didesnė kaulo rezorbcija	panoraminėje kandimo rentgeno nuotraukose
<i>Viršutinis žandikaulis</i>				
13/23 tolimasis	50	44	14	42
14/24 artimasis	24	62	21	17
14/24 tolimasis	50	60	20	20
15/25 artimasis	80	68	16	16
15/25 tolimasis	118	64	20	16
16/26 artimasis	100	52	30	18
16/26 tolimasis	138	54	11	35
17/27 artimasis	133	53	10	37
17/27 tolimasis	130	54	13	33
<b>Iš viso</b>	<b>823</b>			
<b>Vidurkis</b>		<b>56</b>	<b>16</b>	<b>28</b>
<i>Apatinis žandikaulis</i>				
33/43 tolimasis	93	50	35	14
34/44 artimasis	131	50	8	41
34/44 tolimasis	143	66	23	11
35/45 artimasis	128	54	17	29
35/45 tolimasis	140	55	21	24
36/46 artimasis	104	63	15	22
36/46 tolimasis	126	66	18	16
37/47 artimasis	159	60	10	30
37/47 tolimasis	126	55	11	34
<b>Iš viso</b>	<b>1150</b>			
<b>Vidurkis</b>		<b>58</b>	<b>17</b>	<b>25</b>

**9 lentelė.** *Kaulo defekto nustatymų sutarimas ir nesutarimas panoraminėje rentgeno nuotraukoje ir kandimo rentgeno nuotraukose. 5 vertintojų vertinimai išreikšti absoliučiu skaičiumi (n) ir procentais (proc.)*

Danties paviršius	n	<i>Sutarimas (proc.)</i>		<i>Nesutarimas (proc.)</i>	
		Néra kaulo defekto	Yra kaulo defektas	Kaulo defektas nustatytas tik	
		panoraminėje ir kandimo rentgeno nuotraukose	panoraminėje ir kandimo rentgeno nuotraukose	panoraminėje rentgeno nuotraukoje	kandimo rentgeno nuotraukose
<i>Viršutinis žandikaulis</i>					
13/23 tolimasis	52	94	0,2	5	1
14/24 artimasis	262	81	6	3	10
14/24 tolimasis	426	92	1	4	3
15/25 artimasis	392	84	6	5	5
15/25 tolimasis	581	89	2	5	4
16/26 artimasis	573	83	3	8	6
16/26 tolimasis	684	82	5	11	2
17/27 artimasis	679	80	6	10	4
17/27 tolimasis	665	86	3	7	4
<b>Iš viso</b>	<b>4614</b>				
<b>Vidurkis</b>		<b>85</b>	<b>4</b>	<b>7</b>	<b>4</b>
<i>Apatinis žandikaulis</i>					
33/43 tolimasis	832	96	1	2	1
34/44 artimasis	800	94	2	2	2
34/44 tolimasis	830	95	2	1	2
35/45 artimasis	778	89	2	7	2
35/45 tolimasis	783	93	1	3	3
36/46 artimasis	584	87	3	7	3
36/46 tolimasis	637	90	1	6	3
37/47 artimasis	754	83	6	7	4
37/47 tolimasis	726	85	5	7	3
<b>Iš viso</b>	<b>6724</b>				
<b>Vidurkis</b>		<b>91</b>	<b>3</b>	<b>4</b>	<b>2</b>

**10 lentelė.** Tarpšaknio kaulo pažeidimo nustatymų sutarimas ir nesutarimas panoraminėje rentgeno nuotraukoje ir kandimo rentgeno nuotraukose. 5 vertintojų vertinimai išreikšti absoliučiu skaičiumi (n) ir procentais (proc.)

Dantis	n	Sutarimas (proc.)		Nesutarimas (proc.)	
		Nėra tarpšaknio kaulo pažeidimo	Yra tarpšaknio kaulo pažeidimas	Tarpšaknio kaulo pažeidimas	
		panoraminėje ir kandimo rentgeno nuotraukose	panoraminėje ir kandimo rentgeno nuotraukose	panoraminėje rentgeno nuotraukoje	kandimo rentgeno nuotraukose
<i>Viršutinis žandikaulis</i>					
14/24	800	96	1	2	1
16/26	751	83	10	4	3
17/27	726	89	5	5	1
<b>Iš viso</b>	<b>2277</b>	<b>89</b>	<b>5</b>	<b>4</b>	<b>2</b>
<i>Apatinis žandikaulis</i>					
36/46	645	75	12	5	8
37/47	759	87	7	5	1
<b>Iš viso</b>	<b>1413</b>	<b>81</b>	<b>10</b>	<b>5</b>	<b>4</b>
<b>Vidurkis</b>					

Panoraminėje rentgeno nuotraukoje ir kaplių bei krūminių dantų kandimo rentgeno nuotraukose rentgeno atvaizdo tarpšaknio kaulo pažeidimui nustatyti kokybė buvo įvertinta abiejų rentgeninio tyrimo metodų nuotraukose po 3 740 kartų. 59 rentgeno atvaizdai priskirti kokybės kategorijai „Nepakankamas“ vieno ar abiejų rentgeninio tyrimo metodų nuotraukose. Kiti rentgeno atvaizdai buvo priskirti kokybės kategorijai „Pakankamas“. Tarp 2 277 viršutinio žandikaulio dantų šaknų ir 1 404 apatinio žandikaulių dantų šaknų buvo nustatomas tarpšaknio kaulo pažeidimo tarp danties šaknų buvimas arba nebuvinimas. Tarpšaknio kaulo pažeidimo nustatymo atvejai ir rezultatų palyginimas abiejų rentgeninio tyrimo metodų nuotraukose pateiktas 10 lentelėje.

Panoraminės rentgeno nuotraukos jautrumas nustatant tarpšaknio kaulo pažeidimą buvo 0,80, o kandimo rentgeno nuotraukos jautrumas – 0,70.

Vertintojo sutarimas pagal trijų vertintojų rezultatus matujant dantinės ataugos kaulo lygi arba rezorbciją ir nustatant kaulo defekto bei tarpšaknio kaulo pažeidimą panoraminėje rentgeno nuotraukoje ir kandimo rentgeno nuotraukose pateiktas 11 lentelėje.

*11 lentelė. Vertintojo sutarimas matujant dantinės ataugos kaulo lygi arba rezorbciją ir nustatant kaulo defektą bei tarpšaknio kaulo pažeidimą panoraminėje rentgeno nuotraukoje ir kandimo rentgeno nuotraukose. Sutarimas suskaičiuotas bendru sutarimu procentais (%) ir kappa ( $\kappa$ ) koeficientu*

Vertintojas	Kaulo lygio/rezorbcijos matavimas				Kaulo defeto nustatymas				Tarpšaknio kaulo pažeidimas			
	Panoraminė rentgeno nuotrauka		Kandimo rentgeno nuotraukos		Panoraminė rentgeno nuotrauka		Kandimo rentgeno nuotraukos		Panoraminė rentgeno nuotrauka		Kandimo rentgeno nuotraukos	
	%	$\kappa$	%	$\kappa$	%	$\kappa$	%	$\kappa$	%	$\kappa$	%	$\kappa$
1	72	0,46	76	0,55								
2	69	0,45	66	0,43	93	0,57	94	0,62	98	0,79	97	0,72
3	59	0,37	55	0,31	92	0,62	92	0,52	93	0,65	96	0,77
4					99	0,56	99	0,61	97	0,73	97	0,78
Vidurkis	<b>67</b>	<b>0,43</b>	<b>66</b>	<b>0,43</b>	<b>95</b>	<b>0,58</b>	<b>95</b>	<b>0,58</b>	<b>96</b>	<b>0,72</b>	<b>97</b>	<b>0,76</b>

Vertinimų sutarimas pagal šešių vertintojų rezultatus matujant dantinės ataugos kaulo lygi arba rezorbciją panoraminėje rentgeno nuotraukoje ir kandimo rentgeno nuotraukose buvo ribinis (atitinkamai  $\kappa = 0,28$  ir  $\kappa = 0,29$ ). Vertinimų sutarimas pagal penkių vertintojų rezultatus nustatant kaulo defektą panoraminėje rentgeno nuotraukoje ir kandimo rentgeno nuotraukose buvo ribinis (atitinkamai  $\kappa = 0,35$  ir  $\kappa = 0,38$ ). Vertinimų sutarimas pagal penkių vertintojų rezultatus nustatant tarpšaknio kaulo pažeidimą panoraminėje rentgeno nuotraukoje buvo vidutinis ( $\kappa = 0,53$ ), kandimo rentgeno nuotraukose – geras ( $\kappa = 0,65$ ).

Vertintojų poros sutarimas matujant dantinės ataugos kaulo lygi arba rezorbciją ir vertinimai nustatant kaulo defektą bei tarpšaknio kaulo pažeidimą pateikti 12 lentelėje.

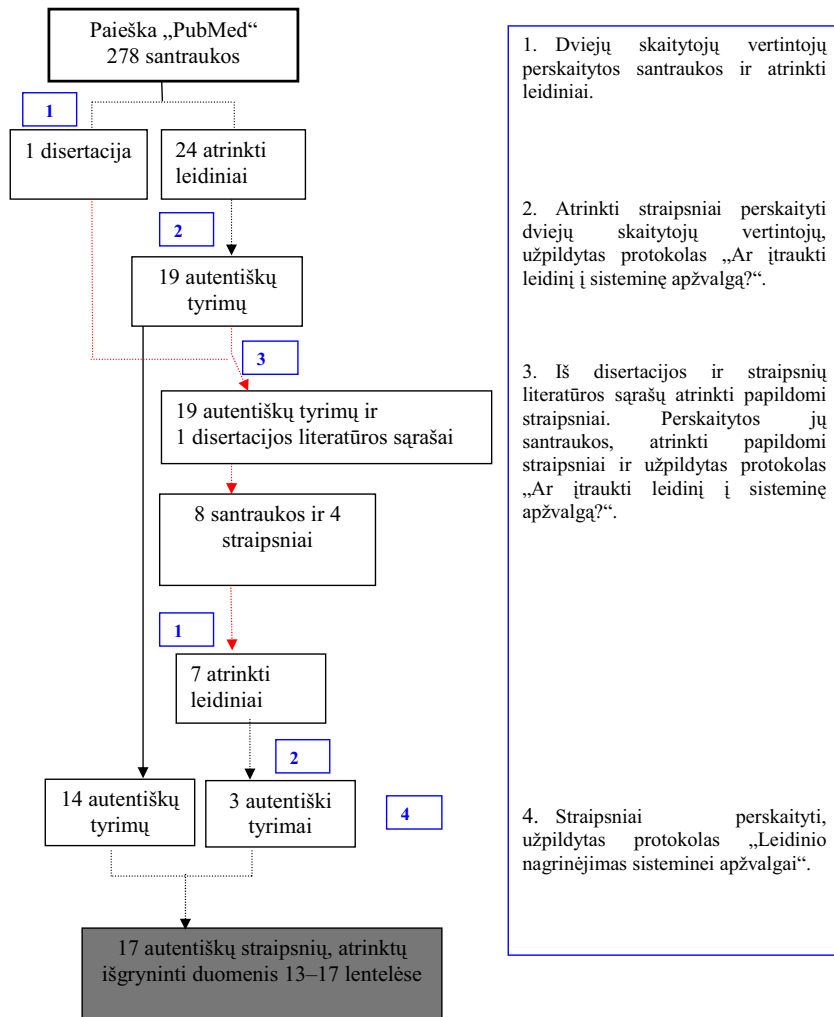
**12 lentelė. Vertintojų poros sutarimas panoraminėje rentgeno nuotraukoje ir kandimo rentgeno nuotraukose. Šeši vertintojai matavo dantinės ataugos kaulo lygi arba rezorbciją, o penki vertintojai nustatė kaulo defektą ir tarpšaknio kaulo pažeidimą. Sutarimas išreikštasis kappa ( $\kappa$ ) koeficientu**

Vertintojų pora	Dantinės ataugos kaulo lygio/rezorbcijos matavimas		Kaulo defekto nustatymas		Tarpšaknio kaulo pažeidimo nustatymas	
	Panoraminė rentgeno nuotrauka	Kandimo rentgeno nuotraukos	Panoraminė rentgeno nuotrauka	Kandimo rentgeno nuotraukos	Panoraminė rentgeno nuotrauka	Kandimo rentgeno nuotraukos
1/2	0,31	0,31				
1/3	0,23	0,34				
1/4	0,38	0,39				
1/5	0,40	0,31				
1/6	0,25	0,21				
2/3	0,17	0,37	0,42	0,42	0,67	0,70
2/4	0,33	0,38	0,31	0,27	0,77	0,65
2/5	0,45	0,38	0,34	0,42	0,65	0,71
2/6	0,31	0,04	0,43	0,44	0,39	0,54
3/4	0,08	0,43	0,25	0,29	0,68	0,71
3/5	0,58	0,40	0,40	0,43	0,69	0,76
3/6	0,36	0,22	0,47	0,44	0,42	0,59
4/5	0,20	0,41	0,22	0,27	0,62	0,72
4/6	0,38	0,14	0,37	0,42	0,33	0,54
5/6	0,14	0,04	0,37	0,37	0,57	0,67

### *Sisteminė literatūros apžvalga*

Sisteminei literatūros apžvalgai apie panoraminės rentgeno nuotraukos vertę diagnozuoti periodonto ligas buvo atlikta paieška duomenų bazėje „PubMed“. Literatūros paieškos ir straipsnių atrankos rezultatai pateikti 11 pav. Be to, iš straipsnių išrinkti reikšmingi duomenys ir paruoštos penkios lentelės (13, 14, 15, 16, 17 lentelės).

**11 pav. Leidinių atrankos schema pagal Ribeiro-Rotta ir kt. (2007) ir paieškos rezultatai. Skaičiaus pažymėti paieškos etapai**



*13 lentelė. Vizualioji kokybės analizė dantinių ataugos pokyčiams vertinti panoraminiuje rentgeno nuotraukoje*

Pirmasis autorius, metai	Panoraminiė įanga, vertintojų skaičius	Tiriamaoji medžiaga	Matavimo vienetas	Statistinis metodas	Rezultatai	Komentarai
Akesson 1989a	<ul style="list-style-type: none"> <li>• Orthopantomograph Model OP5</li> <li>• 5 vertiniojai, ivertinę po 20 pacientų ro</li> </ul>	<ul style="list-style-type: none"> <li>• 100 pacientų (21–77 m.; amžiaus vidurkis 38 m.)</li> <li>• dantų paviršiai palygintiniu liniuote, aprašytai:</li> <li>- Björn ir kt. (1969)</li> <li>- vs dantų šaknų ro</li> <li>- Håkansson ir kt. (1981)</li> <li>51,44</li> <li>- vs kandimo ro</li> <li>31,82</li> </ul>	<ul style="list-style-type: none"> <li>• Rentgeno atvaidzo kokybės kategorijos:</li> <li>- puikus</li> <li>- pakankamas</li> <li>- nepakankamas</li> <li>kaulų lyginiai matuoti liniuote, aprašytai:</li> <li>- Chi kvadrato (<math>\chi^2</math>) testas patikrinti skirtumą tarp metodu (<math>p \leq 0,05</math>)</li> </ul>	<ul style="list-style-type: none"> <li>• Pavisiū kiekis procentais pagal rentgeno atvaidzo kokybės kategorijas:</li> <li>- puikus</li> <li>- nepakankamas</li> <li>kaulų lyginiai matuoti liniuote, aprašyta Håkansson ir kt.</li> <li>• paviršiai</li> <li>- kaulo lyginiai matuoti:</li> <li>v.ž. 245</li> <li>a.ž. 254</li> <li>- kaulo defektui nustatyti:</li> <li>v.ž. 1435</li> <li>a.ž. 1446</li> <li>• dantys tarpaknino kaulo pažidimui nustatyti</li> </ul>	<ul style="list-style-type: none"> <li>• Nepakankamas - panoramines ro vs dantu šaknų ro: v.ž. 27% vs 29% a.ž. 20% vs 15%</li> <li>- panoramines ro vs dantu šaknų ro: - panoramines ro vs kandimo ro: - v.ž. 59% vs 29% a.ž. 37% vs 27%</li> <li>• Geresnė rentgeno atvaidzo kokybė vidinių burnos ro negu panoramines ro</li> </ul>	<ul style="list-style-type: none"> <li>• Pacientai, sengantys išvairaus sunkumo periodontitu</li> <li>• Pacientai su ivariavas dantinišcas ataugos polkičias</li> <li>• Puikus + pakankamas kaulo lygiui matuoti panoramines ro vs kandimo ro: v.ž. 65% vs 94% a.ž. 92% vs 92%</li> <li>• Pakankamas kaulo defektui nustatyti v.ž. 65% vs 98% a.ž. 93% vs 98%</li> <li>• Tarpšaknio kaulo pažidimui nustatyti tik 2% rentgeno atvaidžiu, kokybė nepakankama</li> </ul>
Ivanauskaitė 2008	<ul style="list-style-type: none"> <li>• Scandora dantų panoraminė programa</li> <li>• 6 vertiniojai kaulo lyginiai matuoti</li> <li>• 5 vertiniojai kaulo defektai ir tarpšaknio kaulo pažidimui nustatyti</li> </ul>	<ul style="list-style-type: none"> <li>• 96 patientai (20–85 m.; amžiaus vidurkis 48,5 m.)</li> </ul>	<ul style="list-style-type: none"> <li>• Rentgeno atvaidzo kokybės kategorijos:</li> <li>- puikus</li> <li>- nepakankamas</li> <li>kaulų lyginiai matuoti liniuote, aprašyta Håkansson ir kt. (1981)</li> <li>• Rentgeno atvaidzo kokybės kategorijos:</li> <li>- pakankamas</li> <li>- nepakankamas</li> <li>kaulų defektui tarpšaknio kaulo pažidimui nustatyti kokybės kategorijas</li> </ul>	<ul style="list-style-type: none"> <li>• Pavisiū kiekis procentais pagal rentgeno atvaidzo kaulų lygiui matuoti panoramines ro vs kandimo ro: v.ž. 65% vs 94% a.ž. 92% vs 92%</li> <li>• Darutu procentinis kiekis pagal rentgeno atvaidzo tarpšaknio kaulo pažidimui nustatyti kokybės kategorijas</li> </ul>	<ul style="list-style-type: none"> <li>• Pacientai su ivariavas dantinišcas ataugos polkičias</li> <li>• Puikus + pakankamas kaulo defektui nustatyti v.ž. 65% vs 98% a.ž. 93% vs 98%</li> <li>• Tarpšaknio kaulo pažidimui nustatyti tik 2% rentgeno atvaidžiu, kokybė nepakankama</li> </ul>	

Pirmasis autorius, metai	Panoraminė įanga, vertintojų skaičius	Tiriamoji medžiaga	Matavimo vienetas	Statistinių metodas	Rezultatai	Komentarai
Jenkins 2005	• <i>Orthophos</i> • 4 vertinimojai vertino visas ro	• 50 pacientų (27–73 m.; amžiaus vidurkis $45 \pm 10$ m.) su pažengusiu periodontitu • 951 dantis	• Rentigeno atvaizdo kokybės kategorijos: - pakankamas - nepakankamas - kai aiškiai matomas kaulo kraštų prie artimojo arba tolisojo danties saknies paviršių ir danties saknies viršinė • Neišmatuojama, kai kaulo rezorbacija vertinama: - matuojant linuote, aprašyta Björn ir kt. (1969) - aistumu (mm) nuo CER iki dantinės ataugos	• Ivairių dantų grupių procentinis kiekius su pakankamu rentgeno atvaizdu • Pakankama rentgeno aiavaidzo kokybė - v.z. 9,2% (pirmasis kaplys) - 71% (pirmasis kandis) - a.z. 5,6% (iltis) - 94,3% (antrasis kūruminis dantis)	• Pakankama rentgeno aiavaidzo kokybė • Neuropodytas skirtinį dantu grupių dantu paviršių skaičius	• Tyrimo tikslas – analizuoti apšvitos dozes
Kaimenyi 1988	• <i>Panelipse</i> • 1 vertinimojas	• 50 pacientų (30–40 m.) • 1830 dantų paviršių	• Procentais neišmatuojami paviršiai	• Neišmatuojami paviršiai, matuojant: -15% su linuote, aprasyta Björn ir kt. (1969) - 26% atstumų nuo CER iki dantinės ataugos	• Pacientai kreipėsi dėl periodonto gydymo • Neišmatuojamoje dantų paviršiuose	• Neišmatuojami paviršiai, matuojant: -15% su linuote, aprasyta Björn ir kt. (1969) - 26% atstumų nuo CER iki dantinės ataugos
Molander 1995b	• ivairi įanga: - <i>Scanova</i> žandikaitiui ir dantu programos - <i>Cranex</i> 3 - <i>Orthopantomograph (Model OP3 and OP70)</i> - <i>Orthophos</i> - <i>Orthoradix SD</i> - <i>Planmeca 2002 CC</i> • 7 vertinimojai, kiekvienas ivertinimo 34 ro	• po 30 pacientų (40–60 m.) kickvieta programa	• Kaulo keteros matonumas pagal 4 balų skale (nuo 1= nematoma struktūra iki 4= matomos smulkios struktūros)	• Balų vidurkis 3.1 • Student-Newman-Keuls testas ištirti skirtinumus ( $p=0,05$ )	• Balų vidurkis 2.2–3.1 • <i>Scanova</i> dantu programa reikimingai geresnis (3,5) negu kitos programos • Nėra skirtumo tarp kitų programų balų vidurkio	• Neaišku, kaip skaičiuotas balų vidurkis ir kaip tirtinas skirtumas tarp baltų vidurkio • Neuropodytas ivertinti danties paviršių skaičius
Molander 2004	• <i>Crane Tome ar Scanova</i> (bekuri, dantu ar žandikaitiui programai) juostinės ro ( <i>Digora PCT</i> ar <i>DentOptix</i> ) skaitmeninės ro	• 60 pacientų (24–70 m.; amžiaus mediana 44,5 m.) po 30 kickvienos	• Kaulo lygio matonumas a.z. vertinimas skaitmenines ro lyginant su juostinėmis kaičiai daug geresnis (5), gerensis (4), vienodas (3),	• Skirtingai ivertintų ro vidurkis	• Ro vidurkis, visų vertinėjų ivertintas vienodai. 23,6 <i>Digora PCT</i> 25,0 <i>DentOptix</i>	• Iš 3 ir 4 lentelių apskaičiuota, kad 79% skaitmenininių padarytų <i>Digora PCT</i> , ir 83% <i>DentOptix</i> , padarytų

Pirmasis autorius, metai	Panoraminė įanga, vertintojų skaičius	Tiriamoji medžiaga	Matavimo vienetas	Statistinių metodų	Rezultatai	Komentarai
• 10 vertintojų	irangos ir programos ro	blogesnis (2) daug blogesnis (1)				<i>DenOptix</i> buvo vienodos, lyginant su juostinėmis
Pepelassi 1997	• <i>Ortho Ceph 10</i> • 1 vertintojas	• 100 pacientų (18-75 m.) • 2536 dantys • 5072 dantų paviršiai	• Neišmatuojama, kai kaulo destrukcija vertinama: - austumu (mm) nuo CER iki dantinės ataugos - Schei linijute (1959)	• Neišmatuojamų paviršių kiekis procentais • Chi kvadrato ( $\chi^2$ ) testu vertinta galima veiksmių itaka neišmatuojant	• Neišmatavimas panoraminės ro vs dantų šaknų ro v.z. 1,9% vs 1,8% a.ž. 0,2% vs 1,4%	• Neišmatavimas panoraminės ro vs dantų šaknų ro v.z. 1,9% vs 1,8% a.ž. 0,2% vs 1,4%
					• Neišmatuojamose danties paviršiuose 98% panoraminėje ro ir 43% dantų šaknų ro neišmatoma nustatyti CER	• Neišmatavimas panoraminės ro vs dantų šaknų ro v.z. 1,9% vs 1,8% a.ž. 0,2% vs 1,4%
Persson 2003	• <i>PM 2002 CC Proline</i> • 2 vertintojai	• 184 pacientai • 7520 dantų paviršių	• Neaiškiai matoma, kai kaulo rezorbacija vertinama - austumu (mm) nuo CER iki kaulo krašto - danties šaknies dalimis	• Neaiškiai matomų paviršių procentas • Priežastys	• Neaiškiai matoma panoraminėje ro vs vidinėse būnos ro 16,7% vs 7,9% • Priežastys: - dantis dengia dantį 12,1% - neišskirta CER 2,2% ar danties šaknies viršinė 2,1%	• Periodonto ligos pacientai • Neurodysis pacientų amžius
Stenström 1981	• <i>Orthopantomograph Model OP3</i> • 2 vertintojai vertino kartu	• 21 pacientas (22-46 m.) • 599 dantys • 1198 dantų paviršiai	• Neišmatuojama, kai kaulo lygis vertinatas desimadalius tarp CER ir danties saknies viršunes	• Neišmatuojamų paviršių procentas • Neišmatavimo priežastys	• Terti pacientai, besikreip dėl dantų gydymo kapilių - v.z. 33% (48% kapilių) - a.ž. 19%	• Neišmatuojama, kontūrai 42% ir dantis dengia dantį 12%

a.ž. – apatinis žandikaulis; CER – cemento ir emalio riba; ro – rentgeno nuotrauka; v.z. – viršutinis žandikaulis

**14 lentelė. Panoraminių rentgeno nuotraukos tikslumas vertinant dantinės ataugos pokyčius, kai matavimo standartas nustatytas chirurginio gydymo metu**

Pirmasis autorius, metas, vertintojų skaičius	Rentgeninio tyrimo metodas, vertintojų skaičius	Tiriamoji nedžiaga	Matavimo vienetas	Vertinimo standartas	Statistinis metodas	Rezultatai	Komentarai
Akesson 192a	• Orthopantomograph Model OP5 • Dantų šakų ir kandino ro • 5 vertintojai ivertino visas ro	• 23 pacientai su sunkiu periodontitu (27–73 m.; amžiaus vidurkis 49 m.) • dantų paviršiai v.z. 137 ir a.z. 100 - 170 dantų paviršiai panoraminiės ro vs kandimo ro - 213 dantų paviršių panoraminiės ro vs dantų šaknų ro	• Kaulo rezorbejai: atstumas (mm) nuo danties vainiklo žandinio gumburo smailumos iki labiausiai prie šaknies nutolusio kaulo lygio	• Zondavimas palengvintu zondu (viršinė 0,6 mm) • Vertikalus atstumas (mm) nuo danties vainiklo žandinio gumburo smailumos iki labiausiai prie šaknies	• Mažiau išmatuoto rentgeninio vertinimo matmenys vidurkis: panoraminiės ro vs kandimo ro vs dantų šaknų ro: - 3,3 vs 3,0 vs 2,3 mm - v.z. 18% vs 22% vs 13% viso astumo matmeniu - a.z. 24% vs 17% vs 14% viso astumo	• Mažiau išmatuoto rentgeninio vertinimo matmenys vidurkis: panoraminiės ro vs kandimo ro vs dantų šaknų ro: - 3,3 vs 3,0 vs 2,3 mm - v.z. 18% vs 22% vs 13% viso astumo matmeniu - a.z. 24% vs 17% vs 14% viso astumo	• Išvaras su atskaitos taškais • Paskaičiuotas ro padidinimasis as
Kaimenyi 1988	• Panendope • 1 vertintojas	• 9 pacientai (30–40 m.) • 61 dantų paviršius	• Kaulo rezorbejai: linijiniai matavimai (mm) nuo CER įki dantinės ataugos	• Tiesiogiai matuoja chirurgijos metu	• Skirtumas mm matuojančių chirurgijos metu ir ro	• Matavimų skirtumai (mm) prie dantų paviršių (%): - 1 mm: 46% - 2 mm: 74% - 3 mm: 89%	• Neaprašyt as ro padidinimasis as
Pepelassi 1997	• Ortho Ceph 10 • Dantų šakų ro • 1 vertintojas	• 100 pacientų su vidutiniu sunykimo ar sunkiu periodontitu (18–75 m.) • 2536 dantys	• Kaulo destruktija vertintu kaip esanti • Kaulo rezorbejai: - linijinius matavimus (mm) nuo CER įki dantinės ataugos - Schei liniuotė (1959)	• Linijiniai matavimai (mm) kalibruotu zondu	• Sutupamas procentais nustatant mažą kaulo destruktiją • Skirtumas mm matuojančių chirurgijos metu ir ro	• Mažos kaulo destruktijos nustatomos panoraminiės ro 0,8% ir dantų šaknų ro 2,9% • Kaulo lygio vidurkis (mm) 5,60,	• Neaprašyt as ro padidinimasis as

Pirmasis autoriaus, metai	Rentgeninio tyrimo metodas, vertintojų skaičius	Tiriamoji nedžiaga	Matavimo vienetas	Vertinimo standartas	Statistinis metodas	Rezultatai	Komentarai
Pepelassi 2000	<ul style="list-style-type: none"> <li>• <i>Ortho Ceph 10</i></li> <li>• Dantų šaknų ro</li> <li>• 1 vertintojas</li> </ul>	<ul style="list-style-type: none"> <li>• 100 pacientų su vidutiniu ar sunkiu periodontitu (18–75 m.)</li> <li>• 2536 dantys, 1049 dantys su kaulo defektu</li> <li>• 1234 defektai</li> </ul>	<ul style="list-style-type: none"> <li>• Kaulo defektas vertintas kaip esantis</li> </ul>	<ul style="list-style-type: none"> <li>• Linijiniai matavimai (mm)</li> </ul>	<ul style="list-style-type: none"> <li>• Defekto mastumas nustatomas procentais iš visų defekto skaičiaus</li> <li>• Atspaudas ivertinti defekto matmenis ir turių</li> </ul>	<ul style="list-style-type: none"> <li>• Gilus kaulo defektas nustojamas didesnis rentgeniniuose metoduose</li> <li>• Defekto nustatymas panoramines ro vs dantų šaknų ro 21 vs. 62%</li> <li>• Defektių nustatyti panoraminėse ro išakos turi defekto plotis žando ir liežuvio kryptimi</li> </ul>	<ul style="list-style-type: none"> <li>• Neaprasyt as ro padidintim as; galii turėti išakos, kad būtų matuojam as didesnis defekto gylis</li> </ul>

až – epatinis žandikaulis; CER – cemento ir emalio ribų ro rengėjeno nuotrakai; vž. – viršutinis žandikaulis

### 15 lentelė. Panoraminės ir kitos (-ų) rentgeninio tyrimo metodo (-ų) nuotrankų palyginimas vertinant dantines ataugos pokyčius

Pirmasis autoriaus, metas	Rentgeno iranga, vertinimo skaičius	Tiriamojų medžiaga	Matavimo vienetas	Metodas palyginimui	Statistinis palyginimui metodas	Rezultatai	Komentarai
Akesson 1989b	<ul style="list-style-type: none"> <li>• Orthopantomograph Model OP5</li> <li>• 5 vertinotojai ivertino po 20 pacientų ro</li> </ul>	<ul style="list-style-type: none"> <li>• 100 pacientų (21–77 m.; amžiaus vidurkis 38 m.)</li> <li>• Kaulo rezorbencija nuo iltes tolimojo paviršiaus iki antrojo krūminio danties tolminojo paviršiaus:</li> <ul style="list-style-type: none"> <li>- vž. 594 dantų paviršiai (285 su kaulo defektu)</li> <li>- až. 902 dantų paviršiai (218 su kaulo defektu)</li> </ul> <li>• Tarpšaknės kaulo paželdiminas: 151 dantis</li> </ul>	<ul style="list-style-type: none"> <li>• Kaulo rezorbencija matuota liniuote, aprašyta Håkansson ir kt. (1981):</li> <li>4 balai –nėra rezorbacijos, 10 balų – visiška kaulo rezorbacija</li> <li>• Kaulo defektas ir tarpšaknės kaulo paželdimas (yra)</li> </ul>	<ul style="list-style-type: none"> <li>• 4 kandidino ro</li> </ul>	<ul style="list-style-type: none"> <li>• Metodų tarpusiai atitinkamas procentais nuo visų dantų šaknų paviršių (matuojant kaulo rezorbaciją): vž. 69% až. 68%</li> <li>–nustatant kaulo defekta:</li> </ul>	<ul style="list-style-type: none"> <li>• Atitinkamas –matuojant kaulo rezorbaciją: vž. 69% až. 68%</li> </ul>	<ul style="list-style-type: none"> <li>• Pacientai sergantys skirtingo sunkumo periodonitu</li> </ul>
Ivanauskaitė 2006	<ul style="list-style-type: none"> <li>• Scandora dantų programa</li> <li>• 6 vertinotojai kaulo lygiu ir rezorbacijai matuoti</li> <li>• 5 vertinotojai kaulo defektui ir tarpšaknės kaulo paželdimui nustatyti</li> </ul>	<ul style="list-style-type: none"> <li>• 96 pacientai (20–85 m.; amžiaus vidurkis 48,5 m.)</li> <li>• Paviršiai nuo ilties tolminojo iki antrojo krūminio tolimojo -kaulo lygiu arba rezorbacijai matuoti: vž. 245 až. 254</li> <li>• Kaulo defektai nustatyti: vž. 1435 až. 1446</li> </ul>	<ul style="list-style-type: none"> <li>• Kaulo lygis arba rezorbacija matuota liniuote, aprašyta Håkansson ir kt. (1981):</li> <li>4 balai –nėra rezorbacijos, 10 balų – visiška kaulo rezorbacija</li> <li>• Kaulo defektas ir tarpšaknės kaulo paželdimas (yra ar nera)</li> </ul>	<ul style="list-style-type: none"> <li>• 4 kandidino ro</li> </ul>	<ul style="list-style-type: none"> <li>• Sutarinimas tarp metodų procentais nuo visų dantų šaknų paviršių (matuojant kaulo lygiu arba rezorbaciją): vž. 56% až. 58%</li> <li>–nustatant kaulo defekta: ir nuo visų dantų kiekio (matuojant kaulo lygiu arba rezorbaciją): vž. 56% až. 58%</li> </ul>	<ul style="list-style-type: none"> <li>• Sutarinimas tarp metodų procentais nuo visų dantų šaknų paviršių (matuojant kaulo lygiu arba rezorbaciją): vž. 56% až. 58%</li> <li>–nustatant kaulo defekta:</li> </ul>	<ul style="list-style-type: none"> <li>• Pacientai su išvainia kaulo rezorbacija:</li> </ul>

Pirmasis autoriaus, metai	Rentgeno įranga, vertinimojų skaičius	Tiriamoji medžiaga	Matavimo vienetas	Metodas palyginimui	Statistinis metodas	Rezultatai	Komentarai
Molander 1991	<ul style="list-style-type: none"> <li>• Orthopantomograph Model OP5</li> <li>• 2 vertintojai</li> </ul> <p>ivertino po pusę ro</p>	<ul style="list-style-type: none"> <li>• 200 pacientų (amžiaus vidurkis 42,8 m<math>\pm</math>5,3)</li> <li>• 8968 dantų paviršiai dantų lankose</li> </ul>	<ul style="list-style-type: none"> <li>• Kaulo rezorbėja vertinta aištumu (mm) nuo CER iki dantinės ataugos kraštų</li> <li>• Kaulo deiktas iš tarpsaknio kaulo pažeidimas (yra ar nėra)</li> </ul>	<ul style="list-style-type: none"> <li>• 16 dantų šaknų + 4 kandimo ro</li> </ul>	<ul style="list-style-type: none"> <li>• Sutartinas tarp metodų procentais nuo visų dantų paviršių skaičiaus 55% (48–77),</li> <li>• Didžiausias skirtumas mm</li> <li>nažėja, kai didėja kaulo rezorbėja</li> <li>-nustatant kaulo defekta 40% (33–46)</li> <li>-nustatant tarpsaknio kaulo pažeidimą kruvininių dantų 61%</li> </ul>	<ul style="list-style-type: none"> <li>• Sutartinas tarp metodų procentais nuo visų dantų paviršių skaičiaus 55% (48–77),</li> <li>• Didžiausias skirtumas mm</li> <li>nažėja, kai didėja kaulo rezorbėja</li> <li>-nustatant kaulo defekta 40% (33–46)</li> <li>-nustatant tarpsaknio kaulo pažeidimą kruvininių dantų 61%</li> </ul>	<ul style="list-style-type: none"> <li>• Panoraminės ro liniuotė su 1,3 kartu didinimu</li> </ul>
Molander 1995a	<ul style="list-style-type: none"> <li>• Orthopantomograph Model OP 5</li> <li>• 3 vertintojai</li> </ul>	<ul style="list-style-type: none"> <li>• 40 pacientų (grupė 17–80 m; amžiaus vidurkis 41 m.; SD=16,5)</li> <li>• Pacientų dantų skaičius mediana 24 (4–28)</li> </ul>	<ul style="list-style-type: none"> <li>• Kaulo rezorbėja - kaulo keteros osteolizė</li> <li>- Astumas nuo CER iki dantinės ataugos didesnis negu 1,5 mm</li> </ul>	<ul style="list-style-type: none"> <li>• Panoraminė + išsamus išyrimas (16 dantų šaknų + 4 kandimo ro)</li> </ul>	<ul style="list-style-type: none"> <li>• Jautrumas 80%</li> <li>• Specifikuotas apie 35%</li> </ul>	<ul style="list-style-type: none"> <li>• Jautrumas 80%</li> <li>• Specifikuotas apie 35%</li> </ul>	<ul style="list-style-type: none"> <li>• Panoraminės ro rezorbėjos pradžia nėra aiški</li> </ul>
Persson 2003	<ul style="list-style-type: none"> <li>• PM 2002 CC Proline</li> <li>• 2 vertintojai, kiekvienas ivertino po pusę panoraminių ro</li> </ul>	<ul style="list-style-type: none"> <li>• 59,8%</li> <li>• 292 žmonių (amžiaus vidurkis 55,5<math>\pm</math>12,6)</li> <li>• 21 462 paviršių panoramines ro ir 11 395 vidinės burnos ro ilgio</li> </ul>	<ul style="list-style-type: none"> <li>• Astumas mm nuo CER iki dantinės ataugos</li> <li>• Sanrykis tarp astumo nuo CER iki dantinės ataugos ir nuo danties šaknies</li> </ul>	<ul style="list-style-type: none"> <li>• Vidinės burnos ro</li> </ul>	<ul style="list-style-type: none"> <li>• Koreliacija (ICC) tarp vidinių burnos ro ir panoraminių ro vertinių</li> <li>• skirtumas tarp panoraminių ro ir vidinių burnos ro vertinių</li> </ul>	<ul style="list-style-type: none"> <li>• Panoraminės ro vidinės burnos ro palyginimasis vertinimų - astumas nuo CER iki dantinės ataugos: ICC mažesnis 37</li> <li>• Paveikslė matoma</li> </ul>	<ul style="list-style-type: none"> <li>• Neaišku, kaip skirtinėjai vertintojai palygino metodus</li> <li>• Patoginos:</li> </ul>

Pirmasis autorius, metai	Rentgeno įrangą, vertinimojų skaičius	Tiriamoji medžiaga	Matavimo vienetas	Metodas palyginimui	Statistinis metodas	Rezultatai	Komentarai
Rohlin 1989	<ul style="list-style-type: none"> <li>1 ivertino višas vidines būmos ro</li> <li>• Orthopantomograph Model OP5</li> <li>• 5 vertinimojai ivertino po 20 pacientų ro</li> </ul>	<ul style="list-style-type: none"> <li>• 100 pacientų (20–79 m.)</li> <li>• Danties paviršiai: -v.z. 1530 (368 su kaulo defektu)</li> <li>- až. 1873 (311 su kaulo defektu)</li> <li>• tarpsaknio kaulo pažeidimas 161 dantis</li> </ul>	<ul style="list-style-type: none"> <li>• Kaulo rezorbcija maudota liniuote, aprašyta Björn ir kt. (1969); 4 balai – normalus kaulo lygis 10 balų – visiška kaulo rezorbcija</li> <li>• Kaulo defectas ar tarpsaknio kaulo pažeidimas (ra) dantis</li> </ul>	<ul style="list-style-type: none"> <li>• 14 dantų šaknų ro</li> </ul>	<ul style="list-style-type: none"> <li>• Metodą tarpusavio atitinkamas, išreiktais procentais nuo visų:</li> <li>až. 74%</li> <li>- dantų paviršių (vertinant kaulo rezorbciją, nustatant kaulo defekta)</li> <li>- dantų (nustatant tarpsaknio kaulo pažeidimą)</li> </ul>	<ul style="list-style-type: none"> <li>• Atitinkamas -vertinant kaulo rezorbciją; v.z. 66%</li> <li>až. 74%</li> <li>- nustatant kaulo defekta;</li> <li>v.z. 46%</li> <li>až. 40%</li> <li>- nustatant tarpsaknio kaulo pažeidimą;</li> <li>v.z. 64%</li> <li>až. 70%</li> </ul>	<ul style="list-style-type: none"> <li>• Pacientai, sergantys išvaraus sunkumo periodontitu</li> </ul>

a.ž. – apatinis žandikaulis; CER – cemento ir emalio riba; ro – rentgeno nuotrauka; SN – standartinis nuokrypis; v.z. – viršutinis žandikaulis

*16 temetė. Veritintojų kompetenciją atliekant vizualiųjų kokybės analizę panoraminėje rentgeno nuotraukoje*

Pirmais autorius, metai	Rentgeno iranga, vertintojų skaičius	Tiriamoji medžiaga	Matavimo vienetas	Veritintojo sutarimas (angl. <i>Intra-observer agreement</i> )	Veritintojo sutarimas (angl. <i>Inter-observer agreement</i> )	Komentarai
				Kappa	Kappa	Procentai Kappa
Åkesson 1989a	• Orthopantomograph Model OP5 • 5 vertintojai	• 3 pacientai • 144 dantų paviršiai panoraminės ro ir dantų šalnų ro palyginimui • 100 danties paviršių panoramines ro ir kandino ro palyginimui	• Rentgeno atvaizdo kokybės kategorijos: - priekis - pakankamas - nepakankamas - kaulo rezorbacija matuota liniuotėmis, aprašytomis: - Björn ir kt. (1981)	• Liniuotė, aprašyta Björn ir kt. (1969) 76% 81% 85% 85% 85% • Liniuotė, aprašyta Håkansson ir kt. (1981) 77% 77% 80% 83% 97%	• Liniuotė, aprašyta Björn ir kt. (1969) 0,54 0,57 0,75 0,75 0,76 0,61 0,67 0,67 0,70 0,94 0,67 0,68 0,68 0,72 0,67	<ul style="list-style-type: none"> <li>• <i>Kappa</i> vidinkis apskaičiuota s matuojant liniuotę, aprašyta: - Björn ir kt. (1969) panoraminės ro 0,67 vs dantų žalnų ro 0,68 - Håkansson ir kt. (1981) panoraminės ro 0,72 vs kandino ro 0,67</li> </ul>
Åkesson 1992b	• 3 pavyzdžiai - du patartyti su Orthopantomograph Model OP5 - vienas skirtingu kliniku, skirtinges išrangos • 3 vertintojai	• 3 pacientai • 150 dantų paviršių	• Rentgeno atvaizdo kokybės kategorijos: - priekis - pakankamas - nepakankamas - kaulo rezorbacija matuota liniuotėmis, aprašytomis: - Björn ir kt. (1981) - Håkansson ir kt. (1981)	• Liniuotė, aprašyta Björn ir kt. (1969) 75% 78% 86% • Liniuotė, aprašyta Håkansson ir kt. (1981) 84% 85% 91%	• Liniuotė, aprašyta Björn ir kt. (1969) 0,62 0,66 0,77 0,67 0,73 0,77	

Pirmasis autorius, metai	Rentgeno iranga, vertinėtojų skaičius	Tiriamoji medžiaga	Matavimo vienetas	Veritintojo sutarimas (angl. <i>Intra-observer agreement</i> )	Veritintojo sutarimas (angl. <i>Inter-observer agreement</i> )	Komentarai	
				Procentai	Kappa	Procentai	Kappa
Ivanauskaitė 2008	<ul style="list-style-type: none"> <li>• Scandora dantų programą</li> <li>• 6 vertinėtojai kaulo lygiui arba rezorbacijai matuoti</li> <li>• 5 vertinėtojai kaulo defektui ir tarpšakniniu kaulu pažėidimui nustatyti</li> </ul>	<ul style="list-style-type: none"> <li>• 96 pacientai (20–85 m.; amžiaus vidurkis 48,5 m.)</li> <li>• 5 vertinėtojai kaulo atvaizdo kokybės kategorijos:</li> <ul style="list-style-type: none"> <li>- priukus</li> <li>- pakankamas</li> <li>- nepakankamas</li> <li>- paviršiai nuo ilies tolumojo iki antrojo krūminio tolimejo</li> <li>- kaulo lygiui: v.z. 245 a.ž. 254</li> </ul> </ul>	<ul style="list-style-type: none"> <li>• Rentgeno atvaizdo kokybės kategorijos:</li> <ul style="list-style-type: none"> <li>- priukus</li> <li>- pakankamas</li> <li>- nepakankamas</li> <li>- kaulo defekto ir tarpšakniniu kaulu pažėidimui nustatyti</li> </ul> </ul>	<ul style="list-style-type: none"> <li>• Rentgeno atvaizdo kokybės kategorijos: aprašyta. Håkansson ir kt. (1981)</li> <li>• Kaulo lygis matuotas linioje, aprašyta. Håkansson ir kt. (1981)</li> <li>• Rentgeno atvaizdo kokybės kategorijos: aprašyta.</li> </ul>	<ul style="list-style-type: none"> <li>• Panoramines ro kandidino ro kandidino ro kaulo lygis matuotas linioje, aprašyta Håkansson ir kt. (1981)</li> <li>• Panoramines ro kandidino ro kaulo lygiui arba rezorbacijai matuoti: kaulo defekciui</li> <li>• Kaulo defekcius matuoti: 93% vs 98%</li> <li>• Kaulo defekcius matuoti: 93% vs 98%</li> <li>• Kaulo defekcius matuoti: 93% vs 98%</li> </ul>	<ul style="list-style-type: none"> <li>• Panoramines ro kandidino ro kaulo lygiui arba rezorbacijai matuoti: 76 vs 78% 87 vs 89% 82 vs 91%</li> <li>• Panoramines ro kandidino ro kaulo lygiui arba rezorbacijai matuoti: 0,59 vs 0,56 0,75 vs 0,49 0,63 vs 0,42</li> <li>• Panoramines ro kandidino ro kaulo lygiui arba rezorbacijai matuoti: 0,45 vs 0,28</li> <li>• Panoramines ro kandidino ro kaulo lygiui arba rezorbacijai matuoti: 0,62 vs 0,25</li> <li>• Panoramines ro kandidino ro kaulo lygiui arba rezorbacijai matuoti: 97% vs 96%</li> </ul>	<ul style="list-style-type: none"> <li>• Bendras sutarimas tarpšakniniu kaulu pažėidimui nustatyti: 0,16–0,43</li> <li>• Panoramines ro kandidino ro kaulo lygiui arba rezorbacijai matuoti: 0,51–0,73 vs 0,11–0,40</li> <li>• Panoramines ro kandidino ro kaulo lygiui arba rezorbacijai matuoti: 0,31–0,61 vs 0,31–0,61</li> </ul>

a.ž. – apatinis žandikaulis; ro – rentgeno nuotrauka; v.z. – viršutinis žandikaulis

*17 lentelė. Verintojų kompetencija verinat dantinių atangos pokyčius panoraminiuje rentgeno nuotraukoję*

Pirmais autorius, metai	Rentgeno iranga, verintojų skaičius	Tiriamoji medžiaga	Matavimo vienetas	Vertinimo sutarimas (angl. <i>Intra-observer agreement</i> )	Vertinimo sutarimas (angl. <i>Inter-observer agreement</i> )	Komentarai	
				Procentai	Kappa	Procentai	Kappa
Åkesson 1989b	• Orthopantomograph h Model OP5 • 5 vertintojai	• 3 pacientai • 100 dantų paviršių	• Kaulo rezorbija matuota liniuote, aprašyta Håkansson ir kt. (1981), 4 balai reiskia normalų kaulo lygi, 10 balų – visišką kaulo rezorbiciją • vertinotojų sutarimas: - bendras - kappa	• Panoramines ro vs kandimo ro - vertinant kaulo rezorbiciją 66 vs 74% 0,46 vs 0,55	• Panoramines ro vs kandimo ro - matuojant kaulo lygti arba rezorbiciją: 71 vs 76% 0,52 vs 0,61	• Tik aiškiai matomi dantų paviršiai	
Ivanauskaitė 2006	• Scanneria dantų programma • Verintijo sutarimui: 3 vertintojai • Verintijo sutarimui: 6 vertintojai • Verintijo sutarimui: 5 vertintojai nustatant kaulo defektą ir tarpsaknio kaulo pajedimą	• 96 pacientai • Kaulo lygum arba rezorbicijai matuoti nuo ištis tolimuojo iki antro kūminio danties tolimuojo paviršiaus: - v.ž. 245 dantų paviršiai - až. 254 dantų paviršiai • Kaulo defektui mustatyti: - v.ž. 1435 dantų paviršiai - až. 1446 dantų paviršiai	• Kaulo rezorbija matuota liniuote, aprašyta Håkansson ir kt. (1981) 4 balai reiskia normalų kaulo lygi, 10 balų – visišką kaulo rezorbiciją • Kaulo defektui ir tarpsaknio kaulo pažeidimas (yra ar nėra) • Verintotojų sutarimas - bendras - kappa	• Panoramines ro vs kandimo ro - matuojant kaulo lygti arba rezorbiciją: 72 vs 76% 0,46 vs 0,55	• Panoramines ro vs kandimo ro - matuojant kaulo lygti arba rezorbiciją: 69 vs 66% 0,45 vs 0,43	• Pacientai su ivairaus lygio kaulų rezorbacija • Verintitojų aiškūs paviršiai matuojančių kaulo lygi arba rezorbiciją	

Pirmasis autorius, metai	Rentgeno iranga, vertinėjų skaičius	Tiriamoji medžiaga	Matavimo vienetas	Vertintojo sutarimas (angl. <i>Intra-observer agreement</i> )	Komentarai
				Procentai	Kappa
Roblin 1989	• Orthopantomograph Model OP5 • 5 vertinėjai	• 3 pacientai • 144 dantų paviršiai	• Kaulo rezorbėja matuota linuote, aprasyta Björn ir kt. (1969), 4 balai reiškia normalų kaulo lygi, 10 balai – visišką kaulo rezorbėja	• Panoramines ro vs dantų šaknų ro - vertinant kaulo rezorbaciją:	• Tiki aikštici matomi dantų paviršiai • Apskaiciuotas kappa vidurkis 0,70 tokis paties tiek panoraminių ro, tiek dantų šaknų ro
Pirmasis autorius, metai	Rentgeno iranga, vertinėjų skaičius	Tiriamoji medžiaga	Matavimo vienetas	Vertintojo sutarimo kompetencija	Komentarai
Åkesson 1992a	• Orthopantomograph Model OP5 • Vertinėjo sutarimas: 2 vertinėjai • Vertinėjo sutarimas: 5 vertinėjai	• 23 pacientai, sergantys sunkiu periodontitu (27–73 m.; amžiaus vidurkis 49 m.) • 137 dantų paviršiai v.z. ir 100 až. - 176 dantų paviršiai	• Rentgeninio vertinimo matmenys palyginti su zondo matavimais chirurginiu gydymo metu („tikroji vertė“) • Vertikalus austumas mm matuotas nuo danties vainikio žandiniu gumburo smailiunos iki labiausiai prie šaknies nutolusio kaulo lygio	• Panoramines ro 1 vertinėjais: 0,02 2 vertinėjais: 0,3 • Dantų austumas mm 1 vertinėjais: 0,3 2 vertinėjais: 0,2	Vertintojų sutamino kompetencija: vertės išsinktos iš Åkesson ir kt. (1992a) tyrimo, 3 pav.
			panoramines ro vs kandino ro - 213 dantų paviršių	• Panoramines ro vs dantų šaknų ro 2 vertinėjais:	Vertintojų sutamino kompetencija: vertės išsinktos iš Åkesson ir kt. (1992a) tyrimo, 3 pav.
				0,4 0,2	0,9 1,1 0,2
				0,7 0,7	1,5 0,2

a.Z. – apatinis žandikaulis; CER – cemento ir emalio riba; ro – rentgeno nuotrauka; SN – standartinis nuokrypis; v.z. – viršutinis žandikaulis

## **Išvados**

1. Dantinės ataugos kaulo lygiui arba rezorbcijai matuoti ir kaulo defektui nustatyti panoraminėje rentgeno nuotraukoje rentgeno atvaizdo apie viršutinio žandikaulio iltį ir kaplius kokybė yra blosesnė negu kaplių bei krūminių dantų kandimo rentgeno nuotraukose. Tarpšaknio kaulo pažeidimui nustatyti rentgeno atvaizdo kokybė abiejų rentgeninio tyrimo metodų nuotraukose yra panaši.
2. Matoma rentgeno nuotraukų vertinimų įvairovė. Didesnis vertintojų ir vertintojų poros sutarimas atliekant vizualią kokybės analizę dantinės ataugos kaulo lygiui arba rezorbcijai matuoti, kaulo defektui ir tarpšaknio kaulo pažeidimui nustatyti yra vertinant panoraminę rentgeno nuotrauką negu vertinant kaplių bei krūminių dantų kandimo rentgeno nuotraukas.
3. Nustatant kaulo defektą ir tarpšaknio kaulo pažeidimą panoraminės rentgeno nuotraukos jautrumas yra didesnis negu kaplių bei krūminių dantų kandimo rentgeno nuotraukų. Dantinės ataugos kaulo lygis arba rezorbcija panašiai matuojama abiejų rentgeninio tyrimo metodų nuotraukose, ir rentgeno atvaizdo kokybės kategorijos „Puikus“ ar „Pakankamas“ neturi įtakos vertinimui.
4. Vertintojo sutarimas ir vertintojų sutarimas matuojant dantinės ataugos kaulo lygi arba rezorbciją ir nustatant kaulo defektą ir tarpšaknio kaulo pažeidimą yra panašūs ir panoraminėje rentgeno nuotraukoje, ir kaplių bei krūminių dantų kandimo rentgeno nuotraukose, o vertintojų poros sutarimas žymiai skiriasi ir priklauso nuo vertintojų.

5. Sisteminė literatūros apžvalga parodė, kad pacientui sergant sunkiu periodontitu panoraminėje rentgeno nuotraukoje, lyginant su vidinėmis burnos rentgeno nuotraukomis, nustatoma mažesnė dantinės ataugos rezorbacija. Kai matavimo standartas yra nustatytas chirurginės procedūros metu, panoraminėje rentgeno nuotraukoje matavimai yra ne tokie tikslūs, kaip vidinėse burnos rentgeno nuotraukose. Vertintojo sutarimas, atrodytų, labiau priklauso nuo vertintojo negu nuo rentgeninio tyrimo metodo. Nėra tyrimų, kurių metu buvo nagrinėtos panoraminės rentgeno nuotraukos tikslumas vertinant dantinės ataugos pokyčius po tam tikro laiko.

## **Praktinės rekomendacijos**

### ***Klinikiniam naudojimui***

1. Vengiant paciento apšvitos rentgeninis tyrimas periodonto ligoms diagnozuoti turėtų būti skiriamas po klinikinio periodonto būklės tyrimo. Klinikiniai kriterijai rentgeniniams tyrimui atlikti yra kraujavimas po zondavimo ir matuojama periodonto kišenė.
2. Dantinės ataugos rentgeniniams tyrimui rekomenduojama panoraminė rentgeno nuotrauka, o kai matomas nepakankamos kokybės rentgeno atvaizdas periodonto ligoms diagnozuoti ar reikalinga įvertinti audinius praėjus tam tikram laikui, tyrimas galėtų būti papildomas ar atliekamas darant vidines burnos rentgeno nuotraukas.
3. Pacientams, kurių periodontas yra sveikas arba kuriuos apžiūrint matoma klinikinių dantenų uždegimo ar beprasidedančio periodontito požymiu, rekomenduojama daryti kaplių bei krūminių dantų kandimo rentgeno nuotraukas dantinės ataugos pokyčiams įvertinti ir periodonto ligoms bei éduoniui diagnozuoti.

### ***Mokslo tikslams***

1. Panoraminė rentgeno nuotrauka galėtų būti rekomenduojama epidemiologiniuose tyrimuose vertinant dantinės ataugos pokyčius periodonto ligoms diagnozuoti. Tačiau reikėtų atsižvelgti į ligos paplitimą bei prisiminti, kad dantinės ataugos kaulo rezorbcija joje matuojama mažesnė, nustatomi ne visi kaulo defektai ir tarpšaknio kaulo pažeidimai.

2. Vidinės burnos rentgeno nuotraukos rekomenduojamos tuo atveju, kai atliekami klinikiniai tyrimai, kuriuose vertinama dantinės ataugos kaulo lygio dinamika, ypač po tam tikro laiko.
3. Epidemiologiniuose ir klinikiniuose tyrimuose, kuriuose yra vertinamos rentgeno nuotraukos, turėtų būti analizuojama vertintojų kompetencija ir pristatomi rezultatai, nes vertinimai priklauso nuo vertintojų.

## Literatūros sąrašas

1. Adriaens PA, De Boever J, Vande Velde F. Comparison of intra-oral long-cone paralleling radiographic surveys and orthopantomographs with special reference to the bone height. *J Oral Rehabil* 1982;9:355-65.
2. Ahlgren M, Halling A, Hollender L. Rotational panoramic radiography in epidemiological studies of dental health. Comparison between panoramic radiographs and intraoral full mouth surveys. *Swed Dent J* 1986;10:73-84.
3. Ainamo J, Barnes D, Beagrie G, Cutress, Martin T, Sardo-Infirri J. Development of the World Health Organization (WHO) Community Periodontal Index of Treatment Needs (CPITN). *Int Dent J* 1982;32:281-91.
4. Ainamo J, Tammisalo EH. The orthopantomogram in quantitative assessment of marginal bone loss. *Suom Hammaslääk Toim* 1967;63:132-8.
5. Ainamo J, Tammisalo EH. Orthopantomographic diagnosis of advanced marginal bone lesions. *Suom Hammaslääk Toim* 1968;64:1-5.
6. Åkesson L, Rohlin M, Häkansson J. Marginal bone in periodontal disease: an evaluation of image quality in panoramic and intra-oral radiography. *Dentomaxillofac Radiol* 1989a;18:105-12.
7. Åkesson L, Rohlin M, Häkansson J, Häkansson H, Näsström K. Comparison between panoramic and posterior bitewing radiography in the diagnosis of periodontal bone loss. *J Dent* 1989b;17:266-71.
8. Åkesson L. Panoramic radiography in the assessment of marginal bone level. *Swed Dent J Suppl* 1991;78:1-129.
9. Åkesson L, Häkansson J, Rohlin M. Comparison of panoramic and intraoral radiography and pocket probing for the measurement of the marginal bone level. *J Clin Periodontol* 1992a;19:326-32.
10. Åkesson L, Häkansson J, Rohlin M, Zöger B. An evaluation of image quality for the assessment of the marginal bone level in panoramic radiography. *Swed Dent J* 1992b;17:9-21. (in PubMed 1993)
11. Albandar JM, Abbas DK, Waerhaug M, Gjermo P. Comparison between standardized periapical and bitewing radiographs in assessing alveolar bone loss. *Com Dent Oral Epidemiol* 1985;3:222-5.
12. Albandar JM, Rams TE. Global epidemiology of periodontal diseases: an overview. *Periodontology 2000* 2002;29:7-10.
13. Albandar JM. Periodontal disease surveillance. *J Periodontol* 2007;7:1179-81.
14. Altman DG. Some common problems in medical research. In Altman DG. Practical statistics for medical research. 1<sup>st</sup> ed. London: Chapman & Hall 1991:396-439.
15. Armitage GC. Development of a classification system for periodontal diseases and conditions. *Ann Periodontol* 1999;4:1-6.

16. Baelum V, Lopez R. Defining and classifying periodontitis: need for a paradigm shift? *Eur J Oral Sci* 2003;111:2-6.
17. Balčikonytė E. Osteoporozė ir periodonto patologija. Vilniaus universitetas, Daktaro disertacija Bopmedicinos mokslai, Odontologija (08B) 2006. (in Lithuanian)
18. Benn DK. A review of the reliability of radiographic measurements in estimating alveolar bone changes. *J Clin Periodontol* 1990;17:14-21.
19. Björn AL. Dental health in relation to age and dental care. *Odontol Revy* 1974;25;Suppl 29. Thesis Lund University, 1974.
20. Björn H, Holmberg K. Radiographic determination of periodontal bone destruction in epidemiological research. *Odontol Revy* 1966;17:232-50.
21. Björn H, Halling A, Thyberg H. Radiographic assessment of marginal bone loss. *Odontol Revy* 1969;20:165-79.
22. Blankenstein R, Murray JJ, Lind OP. Prevalence of chronic periodontitis in 13-15-year-old children. A radiographic study. *J Clin Periodontol* 1978;5:258-92.
23. Blesser B, Ozonoff D. A model for the radiologic process. *Radiology* 1972;103:515-21.
24. Bolin A, Eliasson S, von Bezzten M, Jansson L. Radiographic evaluation of mandibular posterior implant sites: correlation between panoramic and tomographic determinations. *Clin Oral Implants Res* 1996;4:354-9.
25. Borg E, Attaelmanan A, Gröndahl H-G. Subjective image quality of solid-state and photostimulable phosphor systems for digital intra-oral radiography. *Dentomaxillofac Radiol* 2000;29:70-7.
26. Bossuyt PM, Reitsma JB, Bruns DE, Gatsonis CA, Glasziou PP, Irwig LM, Lijmer JG, Moher D, Rennie D, de Vet HCW for the STARD group. Towards complete and accurate reporting of studies of diagnostic accuracy: the STARD initiative. *Radiology* 2003;226:24-8. Available from: [http://radiology.rsnajnl.org/cgi/search?sortspec=relevance&fulltext=STARD&author1=Bossuyt&pubdate\\_year=2003](http://radiology.rsnajnl.org/cgi/search?sortspec=relevance&fulltext=STARD&author1=Bossuyt&pubdate_year=2003). (Accessed August 16, 2010)
27. Brägger U. Radiographic diagnosis of periodontal disease progression. *Curr Opin Periodontol* 1996;3:59-67.
28. Brägger U. Radiographic parameters: biological significance and clinical use. *Periodontology 2000* 2005;39:73-90.
29. Carmichael FA, Hirschmann PH, Scaife B, Sheard L, Mackenzie A. A comparison of the diagnostic utility of two image receptors for panoramic radiography. *Dentomaxillofac Radiol* 2000;29:57-60.
30. Casanova MLS, Haiter-Neto F. Effects of developer depletion on image quality of Kodak Insight and Ektaspeed Plus films. *Dentomaxillofac Radiol* 2004;33:108-13.
31. Caton JG, Greenwell H. Consensus report: dental plaque-induced gingival diseases. *Ann Periodontol* 1999;4:18-9.
32. Cederberg RA, Frederiksen NL, Benson BW, Shulman JD. Effect of different background lighting conditions on diagnostic performance of digital images and film images. *Dentomaxillofac Radiol* 1998;27:293-7.

33. Chaves ES, Caffesse RG, Morrison EC, stults DL. Diagnostic discrimination of bleeding on probing during maintenance periodontal therapy. *Am J Dent* 1990;3:167-70.
34. Cholitgul W, Petersson A, Rohlin M, Tanimoto K, Åkerman S. Diagnostic outcome and observer performance in sagittal tomography of the temporomandibular joint. *Dentomaxillofac Radiol* 1990;19:1-6.
35. Coelho L. Dental image analyzer <http://www.ieeta.pt/dia/> (Accessed August 16, 2010).
36. Cohen J. A coefficient of agreement for nominal scales. *Educ Psychol Meas* 1960;20:37-46.
37. Cochrane Library. <http://www.thecochranelibrary.com/view/0/index.html>. (Accessed August 16, 2010)
38. Cooper PG, Caton JG, Polson AM. Cell populations associated with gingival bleeding. *J Periodontol* 1983;54:497-502.
39. Dannewitz B, Hassfeld S, Eickholz P, Mühlung J. Effect of dose reduction in digital panoramic radiography on image quality. *Dentomaxillofac Radiol* 2002;31:50-5.
40. Davenport RH Jr, Simpson DM, Hassell TM. Histometric comparison of active and inactive lesions of advanced periodontitis. *J Periodontol* 1982;53:285-95.
41. Davies PH, Downer MC, Lennon MA. Periodontal bone loss in English secondary school children. A longitudinal radiological study. *J Clin Periodontol* 1978;5:278-84.
42. de Souza PH, de Toledo BF, Rapp GE, Zuza EP, Neto CB, Mendes AJ. Reliability of bleeding and non-bleeding on probing to gingival histological features. *J Int Acad Periodontol* 2003;5:71-6.
43. Douglass CW, Valachovic RW, Wijesinha A, Chauncey HH, Kapur KK, McNeil BJ. Clinical efficacy of dental radiography in the detection of dental caries and periodontal disease. *Oral Surg Oral Med Oral Pathol* 1986;62:330-9.
44. Dula K, Mini R, van der Stelt PF, Buser D. The radiographic assessment of implant patients: decision-making criteria. *Int J Oral Maxillofac Implant* 2001;16:80-9.
45. Ehrlich J, Weisgold A, Updegrave W. A comparative study of panorex and periapical radiographs for evaluating caries and periodontal disease. *Refuat Hapeh Vehashinayim* 1977;26:27-9.
46. Eickholz P, Kim TS, Benn DK, Staehle HJ. Validity of radiographic measurements of interproximal bone loss. *Oral Surg Oral Med Oral Pathol Oral Radiol Endod* 1998;85:99-106.
47. Eickholz P, Hausmann E. Accuracy of radiographic assessment of interproximal bone loss in intrabony defects using linear measurements. *Eur J Oral Sci* 2000;108:70-3.
48. Engelberger A, Rateitschak KH, Marthaler TM. Zur messung des parodontalen Knochenschwundes. *Helv Odontol Acta* 1963;7:34-8. (In German)
49. Espelid I. The influence of viewing conditions on observer performance in dental radiology. *Acta Odontol Scand* 1987;45:153-61.
50. Feinstein AR, Cicchetti DV. High agreement but low kappa: I. The problems of two paradoxes. *J Clin Epidemiol* 1990;43:543-9.
51. Fleiss JL. Measuring nominal scale agreement among many raters. *Psychol Bull* 1971;76:378-82.

52. Flint DJ, Paunovich E, Moore WS, Wofford DT, Hermesh CB. A diagnostic comparison of panoramic and intra-oral radiographs. *Oral Surg Oral Med Oral Pathol* 1998;85:731-5.
53. Fryback D, Thornbury JR. The efficacy of diagnostic imaging. *Med Decis Making* 1991;11:88-94.
54. Gavala S, Donata C, Tsiklakis K, Boziari A, Kamenopoulou V, Stamatakis HC. Radiation dose reduction in direct digital panoramic radiography. *Eur J Radiol* 2009;71:42-8.
55. Gijbels F, Jacobs R, Sanderink G, De Smet E, Nowak B, Van Dam J, Van Steenberghe D. A comparison of the effective dose from scanography with periapical radiography. *Dentomaxillofac Radiol* 2002;31:159-63.
56. Gijbels F, Sanderink G, Pauwels H, Jacobs R. Subjective image quality of digital panoramic radiographs displayed on monitor and printed on various hardcopy media. *Clin Oral Invest* 2004;8:25-9.
57. Globienė J. Lietuvos rajonų gyventojų periodonto būklė. *Stomatologija*. 2001;2:14-6. (In Lithuanian)
58. Goodman C. Literature searching and evidence interpretation for assessing health care practices. Stockholm: The Swedish Council on Technology Assessment in Health Care, 1996.
59. Green ML, Green BL. The vertical periapical bite-wing: a better radiograph for periodontal diagnosis. *Dent Hyg (Chic)*. 1978;52:477-9.
60. Greenstein G, Caton J, Polson AM. Histologic characteristics associated with bleeding after probing and visual signs of inflammation. *J Periodontol* 1981, 52:420-5.
61. Gröndahl HG, Jönsson E, Lindahl B. Diagnosis of marginal bone destruction with orthopantomography and intra-oral full mouth radiography. *Sven Tandlak Tidskr* 1971;64:439-46.
62. Guidance Notes for Dental Practitioners on the Safe Use of X-Ray Equipment (2001). [http://www.hey.nhs.uk/hullrad/ppt/dentistry/2005/dental\\_guidance.pdf](http://www.hey.nhs.uk/hullrad/ppt/dentistry/2005/dental_guidance.pdf)
63. Haffajee AD, Socransky SS, Lindhe J, Kent RL, Okamoto H, Yoneyama T. Clinical risk indicators for periodontal attachment loss. *J Clin Periodontol* 1991;18:117-25.
64. Häkansson J, Björn A-L, Jonsson BG. Assessment of the proximal periodontal bone height from radiographs with partial reproduction of the teeth. A methodology study. *Swed Dent J* 1981;5:147-53.
65. Hämmerle CH, Ingold HP, Lang NP. Evaluation of clinical and radiographic scoring methods before and after initial periodontal therapy. *J Clin Periodontol* 1990;17:255-63.
66. Hausmann E, Allen K, Cleerehugh V. What alveolar crest level on a bite-wing radiographs represents bone loss? *J Periodontol* 1991;62:570-2.
67. Hausmann E, Allen K, Carpio Christersson LA, Cleerehugh V. Computerized methodology for detection of alveolar bone loss from serial intraoral radiographs. *J Periodontol* 1992;63:657-62.
68. Hellén-Halme K, Petersson A, Warfvinge G, Nilson M. Effect of ambient light and monitor brightness and contrast settings on the detection of approximal caries in digital radiographs: an *in vitro* study. *Dentomaxillofac Radiol* 2008;37:380-4.

69. Hermann P, Gera I, Borbély J, Fejérdy P, Madlána M. Periodontal health of an adult population in Hungary: findings of a national survey. *J Clin Periodontol* 2009;36:449-57.
70. Hintze H, Frydenberg M, Wenzel A. Influence of number of surfaces and observers on statistical power in a multiobserver ROC radiographic caries detection study. *Caries Res* 2003;37:200-6.
71. Hirschmann PN. Radiographic interpretation of chronic periodontitis. *Int Dent J* 1987;37:3-9.
72. Holtfreter B, Kocher T, Hoffman T, Desvarieux M, Micheelis M. Prevalence of periodontal disease and treatment demands based on a German dental survey (DMS IV). *J Clin Periodontol* 2010;37:211-9.
73. Hoover JN, Ellegaard B, Attström R. Radiographic and clinical examination of periodontal status of first molars in 15-16-years-old Danish schoolchildren. *Scand J Dent Res* 1981;89:260-3.
74. Horton PS, Sippy FH, Kerber PE, Paule CL. Analysis of interpretation of full mouth and panoramic surveys. *Oral Surg* 1977; 44:468-75.
75. Hugoson A, Rylander H. Longitudinal study of periodontal status in individuals aged 15 years in 1973 and 20 years in 1978 in Jönköping, Sweden. *Community Dent Oral Epidemiol* 1982;10:37-42.
76. Hugoson A, Norderyd O, Slotte C, Thorstensson H. Distribution of periodontal disease in a Swedish adult population 1973, 1983 and 1993. *J Clin Period* 1998; 25:542-8.
77. Hugoson A, Laurell. A prospective longitudinal study on periodontal bone height changes in a Swedish population. *J Clin Periodontol* 2000;27:665-74.
78. Hugoson A, Sjödin B, Norderyd O. Trends over 30 years, 1973-2003, in the prevalence and severity of periodontal disease. *J Clin Periodontol* 2008;35:405-14.
79. ICRP Publication 60: 1990 recommendations of the International Commission on Radiological Protection. *Ann ICRP*. 1991;21:1-201.
80. ICRP Publication 103: The 2007 Recommendations of the International commission on Radiological Protection. *Ann ICRP*. 2007;37:1-332.
81. ICRU Report 54. Medical imaging – the assessment of image quality. ICRU publications. Bethesda: 1996.
82. Ingle JI, Van Himel T, Hawrish CE, Glickman GN, Serene T, Rosenberg PA, Buchanan LS, West JD, Ruddle CJ, Camp JH, Roane JB, Cecchini SCM. Endodontic cavity preparation. In Ingle JI, Bakland LK. *Endodontics*. 5<sup>th</sup> ed. London: BC Decker Inc Hamilton 2002:405-570.
83. Ivanauskaitė D, Lindh C, Rangne K, Rohlin M. Comparison between Scanora® panoramic radiography and bitewing radiography in the assessment of marginal bone tissue. *Stomatologija* 2006;8:9-15.
84. Ivanauskaitė D, Lindh C, Rohlin M. Observer performance based on visibility of the marginal bone tissue in Scanora® panoramic radiography and posterior bitewing radiography. *Stomatologija* 2008;10:36-43.
85. Jaeschke R, Guyatt G, Sackett DL. Users' guides to the medical literature. III. How to use an article about a diagnostic test. A. Are the results of the study valid? Evidence-based medicine working group. *JAMA* 1994a;5:389-91.

86. Jaeschke R, Guyatt G, Sackett DL. Users' guides to the medical literature. III. How to use an article about a diagnostic test. B. What are the results and will they help me in caring for my patients? Evidence-based medicine working group. *JAMA* 1994;271:703-7.
87. Jeffcoat MK, Wang IC, Reddy MS. Radiographic diagnosis in periodontics. *Periodontol* 2000 1995;7:54-68.
88. Jenkins WM, Brocklebank LM, Winning SM, Wylupek M, Donaldson A, Strang RM. A comparison of two radiographic assessment protocols for patients with periodontal disease. *Br Dent J* 2005;198:565-9.
89. Kaimenyi JT, Ashley F. Assessment of bone loss in periodontitis from panoramic radiographs. *J Clin Periodontol* 1988;15:170-4.
90. Kaeppeler G, Axmann-Kremar D, Reuter I, Meyle J, Gómez-Román G. A clinical evaluation of some factors affecting image quality in panoramic radiography. *Dentomaxillofac Radiol* 2000a;29:81-4.
91. Kaeppeler G, Vogel A, Axmann-Kremar D. Intra-oral phosphor and conventional radiography in the assessment of alveolar bone structures. *Dentomaxillofac Radiol* 2000b;29:362-7.
92. Kaeppeler G, Dietz K, Reinert S. The effect of dose reduction on the detection of anatomical structures on panoramic radiographs. *Dentomaxillofac Radiol* 2006;35:271-7.
93. Källestål C, Matsson. Criteria for assessment of interproximal bone loss on bite-wing radiographs in adolescence. *J Clin Periodontol* 1989;6:300-4.
94. Kamburoğlu K, Senel B, Yüksel SP, Özén T. A comparison of the diagnostic accuracy of *in vivo* and *in vitro* photostimulable phosphor digital images in the detection of occlusal caries lesion. *Dentalmaxillofacial Radiol* 2010;39:17-22.
95. Kelly M, Steele J, Nuttall N, Bradnock G, Morris J, Nunn J, Pine C, Pitts N, Treasure E, White D. Adult dental health survey oral health in the United Kingdom 1998. London: Office for National Statistics, 2000.
96. Kim TS, Benn DK, Eickholz P. Accuracy of computer-assisted radiographic measurement of interproximal bone loss in vertical bone defects. *Oral Surg Oral Med oral Pathol Oral Radiol Endod* 2002;94:379-87.
97. Kim TS, Obst C, Zehaczek S, Geen C. Detection of bone loss with different X-ray techniques in periodontal patients. *J Periodontol* 2008;79:1141-49.
98. Kingman A, Albandar J. Methodological aspects of epidemiological studies of periodontal diseases. *Periodontology* 2000 2002;29:11-30.
99. Kitagawa H, Farman AG, Scheetz JP, Brown WP, Lewis J, Benefiel M, Kuroyanagi K. Comparison of three intra-oral storage phosphor systems using subjective image quality. *Dentomaxillofac Radiol* 2000;29:272-6.
100. Kronauer E, Borsig G, Lang NP. Prevalence of incipient juvenile periodontitis at age 16 years in Switzerland. *J Clin Periodontol* 1986;13:103-8.
101. Krstrup U, Petersen EP. Periodontal conditions in 35-44 and 65-74 year-old adults in Denmark. *Acta Odontol Scand* 2006;64:65-73.

102. Kullendorff B, Nilsson M, Rohlin M. Diagnostic accuracy of direct digital dental radiography for the detection of periapical bone lesions. *Oral Surg Oral Med Oral Pathol Oral Radiol Endod* 1996;82:344-50.
103. Landis JR, Koch GG. The measurement of observer agreement for categorical data. *Biometrics* 1977;33:159-74.
104. Lang NP, Joss A, Orsanic T, Gusberti FA, Siegrist BE. Bleeding on probing. A predictor for the progression of periodontal disease? *J Clin Periodontol* 1986;13:590-6.
105. Lang NP, Adler R, Joss A, Nyman S. Absence of bleeding on probing. An indicator of periodontal stability. *J Clin Periodontol* 1990;17:714-21.
106. Lanning SK, Best AM, TempleHJ, Richards PS, Carey A, McCauley LK. Accuracy and consistency of radiographic interpretation among clinical instructors using two viewing systems. *J Dent Educ* 2006a;70:149-59.
107. Lanning SK, Best AM, TempleHJ, Richards PS, Carey A, McCauley LK. Accuracy and consistency of radiographic interpretation among clinical instructors in conjunction with a training program. *J Dent Educ* 2006b;70:545-57.
108. Larsen A, Dale K, Eek M. Radiographic evaluation of rheumatoid arthritis and related conditions by standard reference films. *Acta Radiol (Diagn)* 1977;18:481-91.
109. Latcham LN, Powell RN, Jago JD, Seymour GJ, Aitken JF. A radiographic study of chronic periodontitis in 15 year old Queensland children. *J Clin Periodontol* 1983;10:37-45.
110. Laurell L, Romao C, Hugoson A. Longitudinal study on the distribution of proximal sites showing significant bone loss. *J Clin Periodontol* 2003;30:346-52.
111. Lennon MA, Davies RM. Prevalence and distribution of alveolar bone loss in a population of 15-year-old schoolchildren. *J Clin Periodontol* 1974;1:175-82.
112. Liedberg J, Panmekiate S, Petersson A, Rohlin M. Evidence-based evaluation of three imaging methods for the temporomandibular disc. *Dentomaxillofac Radiol* 1996;25:234-41.
113. Lindhe J, Ranney R, Lamster I. Consensus report: chronic periodontitis. *Ann Periodontol* 1999;4:38.
114. Löe H, Anerud A, Boysen H, Morrison E. Natural history of periodontal disease in man. Rapid, moderate and no loss of attachment in Sri Lankan laborers 14 to 46 years of age. *J Clin Periodontol* 1986;13:431-40.
115. Lofthag-Hansen S, Thilander-Klang A, Ekestubbe A, Helmrot E, Gröndahl K. Calculating effective dose on a cone beam computed tomography device: 3D Accuitomo and 3D Accuitomo FPD. *Dentomaxillofac Radiol* 2008;37:72-9.
116. Ludlow JB, Davies-Ludlow LE, White SC. Patient risk related to common dental radiographic examination: the impact of 2007 International Commission on Radiological Protection recommendations regarding dose calculation. *J Am Dent Assoc* 2008;139:1237-43.
117. Mackevičienė G, Pūrienė A, Balčiūnienė I. Burnos higiena ir periodonto sveikatos būklė tarp Vilniaus ir Vilniaus krašto gyventojų. *Medicina*. 1999;4:41-4. (In Lithuanian)
118. Måansson LG. Evaluation of radiographic procedures. Investigation related to chest images. Thesis, Gothenburg University 1994. ISBN 91-628-1212-2.

119. Mann J, Pettigrew J, Beideman R, Green P, Ship I. Investigation of the relationship between clinically detected loss of attachment and radiographic changes in early periodontal disease. *J Clin Periodontol* 1985;12:247-53.
120. Mariotti A. Dental plaque-induced gingival diseases. *Ann Periodontol* 1999;4:7-19.
121. Marshall-Day CD, Schourie KL. A roentgenographic survey of periodontal disease in India. *J Amer Dent Ass* 1949;39:52.
122. Marshall-Day CD, Stephens RG, Quigley LF. Periodontal disease: prevalence and incidence. *J Periodontol* 1955;26:185-203.
123. Martínez Beneyto Y, Alcaráz Banos M, Pérez Lajarin L, Rushton VE. Clinical justification of dental radiology in adult patient: a review of the literature. *Med Oral Patol Oral Cir Bucal* 2007;12:E244-51.
124. Menghini G, Steiner M, Helfenstein U, Imfeld C, Brodowski D, Hoyer C, Hofmann B, Furrer R, Imfeld T. *Schweiz Monatsschr Zanmed* 2002;7:708-17. (In German)
125. Medical Subject Headings (MeSH) data base. <http://www.ncbi.nlm.nih.gov/mesh>
126. MeSH term "Periodontal Diseases". <http://www.ncbi.nlm.nih.gov/mesh>: Periodontal Diseases
127. MeSH term "Observer Variation". <http://www.ncbi.nlm.nih.gov/mesh>: Observer Variation
128. MeSH term "Radiography, Panoramic". <http://www.ncbi.nlm.nih.gov/mesh>: Radiography, Panoramic
129. Mileman PA, Kievit J. Achieving efficacy in oral radiology-out of the woods, and into decision tree? *Dentomaxillofac Radiol* 1992;21:115-7.
130. Michalowicz BS, Aeppli DP, Kuba RK, Bereuter JE, Conry JP, Segal NL, Bouchard TJ, Pihlstrom BL. A twin study of genetic variation in proportional radiographic alveolar bone height. *J Dent Res* 1991;70:1431-5.
131. Moimaz SA, Zina LG, Saliba O, Garbin CA. Smoking and periodontal disease: clinical evidence for an association. *Oral Health Prev Dent* 2009;7:369-76.
132. Mol A. Imaging methods in periodontology. *Periodontol* 2000 2004; 34: 34-48.
133. Molander B, Ahlgren M, Gröndahl HG, Hollender L. Agreement between panoramic and intra-oral radiography in the assessment of marginal bone height. *Dentomaxillofac Radiol* 1991;20:155-60.
134. Molander B, Ahlgren M, Gröndahl HG. Panoramic and restrictive intraoral radiography in comprehensive oral radiographic diagnosis. *Eur J Oral Sci* 1995a;103:191-8.
135. Molander B, Ahlgren M, Gröndahl HG. Image quality in panoramic radiography. *Dentomaxillofac Radiol* 1995b;24:17-22.
136. Molander B, Gröndahl H-G, Ekestubbe A. Quality of film-based and digital panoramic radiography. *Dentomaxillofac Radiol* 2004;33:32-6.

137. Nordin O, Hugoson A. Tooth loss and periodontal bone level in individuals of Jönköping county. A comparison between two adult population living in the city and in the surrounding area. *Swed Dent J* 1998;4:165-74.
138. NRPB. Guidelines on radiology standards for primary dental care. Doc NRPB 1994; 5: No 3.
139. Offenbach S, Barros SP, Beck JD. Rethinking periodontal inflammation. *J Periodontol* 2008; 79:1577-84.
140. Page RC, Eke PI. Case definitions for use in population-based surveillance of periodontitis. *J Periodontol* 2007;7:1387-99.
141. Panmekiate S, Petersson A, Rohlin M, Åkerman S. Observer performance and diagnostic outcome in diagnosis of the disk position of the temporomandibular joint using arthrography. *Oral Surg Oral Med Oral Pathol* 1994;78:255-63.
142. Papapanou P. Epidemiology of periodontal diseases: an update. *Journal of the International Academy of Periodontology* 1999;4:110-6.
143. Papapanou P, Lindhe J. Epidemiology of periodontal diseases. In Lindhe J, Lang NP, Karring T. (eds) *Clinical periodontology and implant dentistry*, 5<sup>th</sup> edition, pp. 129-79. Oxford: Oxford Blackwell Scientific Publication Ltd. 2008.
144. Patel N, Rushton VE. Macfarlane TV, Horner K. The influence of viewing conditions on radiological diagnosis of periapical inflammation. *Br Dent J* 2000;189:40-2.
145. Peker I, Toraman AM, Uslan G, Altunkaynak B. The comparissson of subjective image quality in conventional and digital panoramic radiography. *Indian J Dent Res* 2009;20:21-5.
146. Pepeleassi EA, Diamanti-Kipioti A. Selection of the most accurate method of conventional radiography for the assessment of periodontal osseous destruction. *J Clin Periodontol* 1997;24:557-67.
147. Pepeleassi EA, Tsiklakis K, Diamanti-Kipioti A. Radiographic detection and assessment of the periodontal endosseous defects. *J Clin Periodontol* 2000;27:224-30.
148. Persson RE, Tzannetou S, Feloutzis AG, Brägger U, Persson GR, Lang NP. Comparison between panoramic and intra-oral radiographs for the assessment of alveolar bone levels in a periodontal maintenance population. *J Clin Periodontol* 2003;30:833-9.
149. Pfeifer J, Dean J. The value of panoramic radiography in periodontal diagnosis. *J Wis State Dent Soc* 1969;45:3-7.
150. Pierro VSS, de Souza IPR, Luiz RR, Barcelos R, Moraes RS. Reliability of two methods for measurements of alveolar bone level in children. *Dentomaxillofac Radiol* 2008;37:34-9.
151. Potter BJ, Shrout MK, Harrell JC. Reproducibility of beam alignment using different bite-wing radiographic techniques. *Oral Surg Oral Med Oral Pathol Oral Radiol Endod* 1995;79:532-5.
152. Poulsen S, Bille J, Rugg-Gunn AJ. Evaluation of a calibration trial to increase interexaminer reliability of radiographic diagnosis of approximal carious lesions. *Community Dent Oral Epidemiol* 1980;8:135-8.
153. Pūrienė A. Bone status in a group of lithuaninans with untreated periodontitis. *Acta Med Lithuania* 1997;2:57-60.

154. Pūrienė A, Balčiūnienė I, Ivanauskaitė D. Oral status of patients with untreated periodontitis. A clinical-radiological analysis. *Acta Med Lithuanica* 2003;10:95-100.
155. Quality evaluation of dental care. Guidelines for the assessment of clinical quality and professional performance. *Radiographs*. Los Angeles: California Dent Assoc 1977;13-5.
156. Radiation protection 136. European guidelines on radiation protection in dental radiology. European commission. 2004.
157. Reit C. The influence of observer calibration on radiographic periapical diagnosis. *Int End J* 1987;20:75-81.
158. Renvert S, Baderstein A, Nilvénus R, Egelberg S. Healing after treatment of periodontal intraosseous defects. I. Comparative study of clinical methods. *J Clin Periodontol* 1981;8:387-99.
159. Ribeiro-Rotta RF, Lindh C, Rohlin M. Efficacy of clinical methods to assess jawbone tissue prior to and during endosseous dental implant placement: a systematic literature review. *Int J Oral Maxillofac Implants* 2007;22:289-300.
160. Rohlin M, Åkesson L, Håkansson J, Håkansson H, Näsström K. Comparison between panoramic and periapical radiography in the diagnosis of periodontal bone loss. *Dentomaxillofac Radiol* 1989;18:72-6.
161. Rohlin M, Petersson A. Rheumatoid arthritis of the temporomandibular joint: radiologic evaluation based on standard reference films. *Oral Surg Oral Med Oral Pathol* 1989;67:594-9.
162. Rohlin M, Kullendorff B, Ahlgqvist M, Stenström B. Observer performance in the assessment of periapical pathology: a comparison of panoramic with periapical radiography. *Dentomaxillofac Radiol* 1991;20:127-31.
163. Rohlin M, Åkerblom A. Individualized periapical radiography determined by clinical and panoramic examination. *Dentomaxillofac Radiol* 1992;21:135-41.
164. Rosa GM, Lucas GQ, Lucas ON. Cigarette smoking and alveolar bone in young adults: a study using digitized radiographs. *J Periodontol* 2008;79:232-44.
165. Rushton VE, Horner K. A comparative study of radiographic quality with periapical techniques in general dental practise. *Dentomaxillofac Radiol* 1994;23:37-45.
166. Rushton VE, Horner K. The impact of quality control on radiography in general dental practice. *Br Dent J* 1995;179:254-61.
167. Rushton VE, Horner K. The use of panoramic radiology in dental practice. *J Dent* 1996;24:185-201.
168. Rushton VE, Horner K, Worthington HV. The quality of panoramic radiographs in a sample of general dental practices. *Br Dent J* 1999;26:630-3.
169. Rushton VE, Horner K, Worthington HV. Screening panoramic radiography of new adult patients: diagnostic yield when combined with bitewing radiography and identification of selection criteria. *Br Dent J* 2002a;192:275-9.
170. Rushton VE, Horner K, Worthington HV. Routine panoramic radiography of new adult patients in general dental practice: relevance of diagnostic yield to treatment and identification of radiographic selection criteria. *Oral Surg Oral Med Oral Pathol Oral Radiol Endod* 2002b;93:448-95.

171. Salonen LW, Frithiof L, Wouters FR, Hellden LB. Marginal bone height in an adult Swedish population. A radiographic cross-sectional epidemiologic study. *J Clin Periodontol* 1991;18:223-32.
172. Salvolini U. Traumatic injuries: imaging of facial injuries. *Eur Radiol* 2002;12:1253-61.
173. Savage A, Eaton KA, Moles DR, Needleman I. A systematic review of definitions of periodontitis and methods that have been used to identify this disease. *J Clin Periodontol* 2009;36:458-67.
174. SBU a. <http://www.sbu.se/en/About-SBU/> (Accessed August 16, 2010)
175. SBU b. <http://www.sbu.se/en/Assessment-and-Evidence/> (Accessed August 16, 2010)
176. SBU Report 169. Chronic periodontitis – prevention, diagnosis and treatment. A systematic review. Summary and conclusions. Stockholm: 2004.
177. Schei O, Waerhaug J, Lovdal A, Arno A. Alveolar bone loss as related to oral hygiene and age. *J Periodontol* 1959;30:7-16
178. Schulte W, d'Hoedt B, Lukas D, Maunz M, Steppeler M. Periotest for measuring periodontal characteristics – correlation with periodontal bone loss. *J Periodont Res* 1992;27:184-90.
179. Selikowitz HS, Sheiham A, Albert D, Willjams GM. Retrospective longitudinal study of the rate of alveolar bone loss in humans using bite-wing radiographs. *J Clin Periodontol* 1981;8:431-8.
180. Sewerin IB, Andersen V, Stoltze K. Influence of projection angles upon position of cementoenamel junction on radiographs. *Scand J Dent Res* 1987;95:74-81.
181. Sheiham A, Netuveli GS. Periodontal diseases in Europe. *Periodontology* 2000 2002;29:104-21.
182. SIS, Swedish standards Institute. Light and lighting – lighting of work places. Part 1: indoor work places. SS-EN 12464-1, 2003 (In English) <http://www.sis.se/defaultmain.aspx?tabName=%40Search&SearchString=SS-EN+12464-1> (Accessed August 16, 2010)
183. Skudutytė R, Aleksejūnienė J, Eriksen HM. Periodontal conditions among Lithuanian adults. *Acta Medica Lituanica* 2001;1:57-62.
184. Skudutyte-Ryssstad R, Eriksen HM, Hansen BF. Trends in periodontal health among 35-year-olds in Oslo, 1973-2003. *J Clin Periodontol* 2007;34:867-72.
185. Soikkonen K, Wolf J, Tenkanen M. Clinical and panoramic assessment of marginal bone loss. A cadaver study. *Proc Finn Dent Soc* 1990;86:137-41.
186. Sogur E, Baksi BG, Gröndahl H-G, Lomcali G, Sen BH. Detectability of chemically induced periapical lesions by limited cone beam computed tomography, intra-oral digital and conventional film radiography. *Dentomaxillofac Radiol* 2009;38:458-64.
187. Stenström B, Julin P, Lavstedt S. Comparison between panoramic radiographic techniques. Part II: Marginal bone level interpretability with Status-X® and Orthopantomograph®, Model OP 3. *Dentomaxillofac Radiol* 1982;11:37-45.
188. Suomalainen A, Kiljunen T, Käser Y, Peltola J, Kortesniemi M. Dosimetry and image quality of four dental cone beam computed tomography scanners compared with multislice computed tomography scanners. *Dentomaxillofac Radiol* 2009;38:367-78.

189. Suomi JD, Plumbo J, Barbano JP. A comparative study of radiographs and pocket measurements in periodontal disease evaluation. *J Periodontol* 1968;39:311-5.
190. Suominen-Taipale L, Nordblad A, Vehkalahti M, Aromaa A. Oral health in the Finish adult population. *Health 2000 Survey*, Helsinki: National Public Health Institute, 2008.
191. Swets JA, Picket RM. Evaluation of diagnostic systems: methods from signal detection theory. New York: Academic Press 1982:1-79.
192. Tammisalo E, Hallikainen D, Kanerva H, Tammisalo T. Comprehensive oral X-ray diagnosis: Scanora multimodal radiography. A preliminary description. *Dentomaxillofac Radiol* 1992;21:9-15.
193. Tammisalo T, Luostarinen T, Vähätilo K, Tammisalo EH. Comparison of periapical and detailed narrow-beam radiography for diagnosis of periapical and detailed narrow-beam radiography for diagnosis of periapical bone lesions. *Dentomaxillofacial Radiol* 1993;22:183-7.
194. Tammisalo T, Vähätilo K, Luostarinen T, Leimola-Virtanen, Tammisalo EH. Comparison of periapical and detailed narrow-beam radiography for diagnosis of periodontal pathology. *Dentomaxillofac Radiol* 1994;23:97-101.
195. Tammisalo T, Luostarinen T, Vähätilo K, Tammisalo EH. A comparison of detailed zonography with periapical radiography for the detection of periapical lesions. *Dentomaxillofac Radiol* 1995a;24:114-20.
196. Tammisalo T, Luostarinen T, Vähätilo K, Rosberg K, Tammisalo EH. Radiographic detectability of periodontal diseases. A comparison of periapical radiography with detailed zonography. *Dentomaxillofac Radiol* 1995b;24:185-90.
197. Tammisalo T, Luostarinen T, Vähätilo K, Neva M. Detailed tomography of periapical and periodontal lesion. Diagnostic accuracy compared with periapical radiography. *Dentomaxillofac Radiol* 1996;25:89-96.
198. Tasaki MM, Westesson PL. Temporomandibular joint: diagnostic accuracy with sagittal and coronal MR imaging. *Radiology* 1993;186:723-9.
199. Teeuw WJ, Coelho L, Silva A, van der Palen CJ, Lessmann FG, van der Velden U, Loos BG. Validation of a dental image analyzer toll to measure alveolar bone loss in periodontitis patient. *J Periodon Res* 2009;44:94-102.
200. Thanyakarn C, Hansen K, Rohlin M, Åkesson. Measurements of tooth length in panoramic radiographs. I: The use of indicators. *Dentomaxillofac Radiol* 1992;21:26-30.
201. Tingberg A. Quantifying the quality of medical X-ray images. An evaluation based on normal anatomy for lumbar spine and chest radiography. Thesis. Lund University, 2000. ISBN 91-628-4225-0.
202. Tugnait A, Clerugh V, Hirshmann PN. The usefulness of radiographs in diagnosis and management of periodontal diseases: a review. *J Dent* 2000a;28:219-6.
203. Tugnait A, Clerugh DV, Hirshmann PN. Survey of radiographic practices for periodontal disease in UK and Irish dental teaching hospitals. *Dentomaxillofac Radiol* 2000b;29:376-81.
204. Uotila E, Wolf J. orthopantomographic measurements of alveolar crest height in parodontitis profunda. *Odontol Tidskr* 1968;76:27-32.

205. Valachovic RW, Douglass CW, Reiskin AB, Chauncey HH, McNeil BJ. The use of panoramic radiography in the evaluation of asymptomatic adult dental patients. *Oral Surg Oral Med Oral Pathol* 1986;61:289-96.
206. Van der Velden U. Letter to editor. Diagnosis of periodontitis. *J Clin Periodontol* 2000;27:960-1.
207. Wakoh M, Farman AG, Kitagawa H, Nishikawa K, Kuroyanagi K. A sensitometric comparison of Kodak Ektavision and Fuji Super HR-S panoramic radiographic films. *Oral Surg Oral Med Oral Pathol Oral Radiol Endod* 1998;86:249-53.
208. Wakoh M, Nishikawa K, Kobayashi N, Farman AG, Kuroyanagi K. Sensitometric properties of Agfa Dentus OrthoLux, Agfa Dentus ST8G, and Kodak Ektavision panoramic radiographic film. *Oral Surg Oral Med Oral Pathol Oral Radiol Endod* 2001;91:244-51.
209. Walsh TF, Al-Hokail OS, Fosam EB. The relationship of bone loss observed on panoramic radiographs with clinical periodontal screening. *J Clin Periodontol* 1997;24:153-7.
210. Weinstein MC, Fineberg HV. Clinical decision analysis. Philadelphia London Toronto: W.B. Saunders Company. 1980:page 85.
211. Welander U, McDavid WD, Higgins NM, Morris CR. The effect of viewing conditions on the perceptibility of radiographic details. *Oral Surg Oral Med Oral Pathol* 1983;56:651-4.
212. Whiting P, Rutjes AWS, Reitsma JB, Bossuyt PMM, Kleijnen J. The development of QUADAS: a tool for the quality assessment of studies of diagnostic accuracy included in systematic reviews. *BMC Med Res Methodol* 2003;3:25-37.
213. Yitschaky M, Haviv Y, Afarmian DJ, Abed Y, Redlich M. Prediction of premolar tooth lengths based on their panoramic radiographic lengths. *Dentomaxillofac Radiol* 2004;33:370-2.
214. Zechner W, Watzak G, Gahleitner A, Busenlechner D, Tepper G, Watzek G. Rotational panoramic versus intraoral rectangular radiographs for evaluation of peri-implant bone loss in the anterior atrophic mandible. *Int J Oral Maxillofac Implants* 2003;18:873-8.
215. Zūbienė J, Klumbienė J, Tamošiūnas A, Milčiuvienė S. Kauno miesto senyvo amžiaus žmonių periodonto ligų paplitimo ir burnos higienos būklės įvertinimas. *Visuomenės sveikata* 2008;6:2108-14. (in Lithuanian)

## **Publikacijos**

1. *Comparison between Scanora® panoramic radiography and bitewing radiography in the assessment of the marginal bone tissue.*

Deimante Ivanauskaite, Christina Lindh, Klara Rangne, Madeleine Rohlin.

Stomatologija 2006;8:9-15.

2. *Observer performance based on marginal bone tissue visibility in Scanora® panoramic radiography and posterior bitewing radiography.*

Deimante Ivanauskaite, Christina Lindh, Madeleine Rohlin.

Stomatologija 2008;10:36-43.

## **Tezės**

1. *Panoramic Radiography Using Scanora and Posterior Bitewing Radiography for the Assessment of the Marginal Bone Tissue.*

Ivanauskaite D (Lietuva); Lindh C (Švedija); Rangne K (Švedija); Rohlin M (Švedija).

XIII tarptautinis burnos bei veido ir žandikaulių radiologijos kongresas. 2001 m. rugpjūčio 5–7 d., Glazgas, Jungtinė Karalystė

(13<sup>th</sup> International congress of DentoMaxilloFacial Radiology; Glasgow, UK; August 5-7, 2001).

2. *Assessment of Marginal Bone Tissue in Panoramic Radiography – A Systematic Review.*

Rangne K (Švedija), Ivanauskaite D (Lietuva), Lindh C (Švedija), Rohlin M (Švedija).

VIII Europos burnos bei veido ir žandikaulių radiologijos kongresas. 2002 m. birželio 6–8 d., Krokova, Lenkija

(8<sup>th</sup> European congress of Dentomaxillofacial radiology; Cracow, Poland; June 6-8, 2002).

3. *Subjective Image Quality in Panoramic Radiography using Scanora® and Posterior Bitewing Radiography in the Assessment of Marginal Bone Tissue.*

Ivanauskaite D (Lietuva), Lindh C (Švedija), Rohlin M (Švedija).

IX Europos burnos bei veido ir žandikaulių radiologijos kongresas. 2004 m. birželio 17–19 d., Malmė, Švedija

(9<sup>th</sup> European congress of Dentomaxillofacial radiology. Malmo, Sweden; June 17-19, 2004).

4. *Visual Grading Analysis and Assessment of Marginal Bone Tissue in Panoramic Radiography. A Systematic Review.*

Ivanauskaite D (Lietuva); Lindh C (Švedija); Rohlin M (Švedija).

XII Europos burnos bei veido ir žandikaulių radiologijos kongresas. 2010 m. birželio 2–5 d., Stambulas, Turkija

(12<sup>th</sup> European congress of Dentomaxillofacial radiology; Istanbul, Turkey; June 2-5, 2010).

## **Summary**

Radiographic modalities are used in addition to clinical methods to gain information about the patients. In the examination of the periodontium, which is comprised of the gingiva, alveolar bone, periodontal ligament, and cementum, the radiographic examination plays an integral role for diagnosis of periodontal disease. The diagnosis periodontitis is based on a finding of alveolar bone loss. Changes of the alveolar bone can be assessed by different radiographic modalities, such as intraoral radiography (bitewing and periapical radiography) and panoramic radiography. Analysis of alveolar bone loss (alveolar bone level, detection of vertical bone defect and furcation involvement) in radiographic modalities and a systematic review could be helpful to suggest the more applicable radiographic methods for diagnosis of periodontal disease.

The purpose of the present study was to examine diagnostic properties of panoramic radiography for the assessment of alveolar bone loss for the diagnosis of periodontal diseases as compare to posterior bitewing radiography. The tasks were:

1. To perform visual grading analysis for the assessment of alveolar bone level, detection of vertical bone defect and furcation involvement in panoramic radiography and compare with that of posterior bitewing radiography.
2. To evaluate the observer performance of visual grading analysis for the assessment of alveolar bone level, detection of vertical bone defect and furcation involvement in panoramic radiography and in posterior bitewing radiography.
3. To compare panoramic radiography and posterior bitewing radiography for the assessment of alveolar bone level, detection of vertical bone defect and furcation involvement.

4. To evaluate the observer performance for the assessment of alveolar bone level, detection of vertical bone defect and furcation involvement in panoramic radiography and in posterior bitewing radiography.
5. To evaluate evidence of the scientific literature on panoramic radiography for visual grading analysis, for diagnostic accuracy, and observer performance in the assessment of alveolar bone loss.

For 96 patients panoramic and posterior bitewing radiographs were performed and results of analysis of visibility of radiographic images and assessment of alveolar bone loss were compared. Also, the systematic review on diagnostic properties of panoramic radiography in the assessment of alveolar bone loss was performed. Based on the results of this study were concluded:

1. For the assessment of alveolar bone level and the detection of vertical bone defect, the image quality in the upper jaw in the canine and premolar regions panoramic radiography presented a lower image quality than posterior bitewing radiography. For the detection of furcation involvement, the visibility of the radiographic methods was comparable.
2. Inter-observer agreement for several observers as well as for pairs of observers for visual grading analysis for the assessment of alveolar bone level, detection of vertical bone defect and furcation involvement was higher for panoramic radiography than for posterior bitewing radiography. The performance was observer-dependent. This will result in a large variation in assessments.
3. Provided that image quality is excellent or acceptable, panoramic radiography is comparable to posterior bitewing radiography for scoring the alveolar bone level. Agreement between the methods was not influenced by the categories used in visual grading analysis, *excellent* or *acceptable*. For the detection of vertical bone defect and furcation involvement, the sensitivity of panoramic radiography was higher than that of posterior bitewing radiography.

4. Intra-observer agreement as well as inter-observer agreement of several observers for the assessment of alveolar bone level, detection of vertical bone defect and furcation involvement was similar for panoramic radiography and posterior bitewing radiography. The inter-observer agreement for pairs of observers varied widely for both methods as it was observer-dependent.
5. The systematic review revealed that panoramic radiography underestimated the degree of bone loss as was the case with bitewing and periapical radiography in patients with severe periodontitis. Panoramic radiography presented somewhat lower accuracy than intraoral radiography when surgical measurements comprised the standard reference. The intra-observer agreement seemed to be more influenced by the observers than by the radiographic method. There was no study on the accuracy of panoramic radiography to identify alveolar bone changes over time.

## **Apie autorię**

**Deimantė Ivanauskaitė** gimė 1973 m. gegužės 16 d. Vilniuje.

### **Išsilavinimas:**

- 1991 m. baigė Vilniaus raj. Salininkų vidurinę mokyklą.
- 1991–1996 m. Kauno medicinos akademija; gydytojo stomatologo diplomas.
- 1996–1997 m. Kauno medicinos akademija, pirminė rezidentūra Vilniaus universiteto Žalgirio klinikoje; bendros praktikos gydytojo stomatologo kvalifikacija ir pažymėjimas.
- 1997–1998 m. Vilniaus universiteto Medicinos fakulteto Stomatologijos klinika, antrinė specialybės rezidentūra; gydytojo periodontologo kvalifikacija ir pažymėjimas.
- 1998 m. spalio 19–23 d. Slaugos darbuotojų tobulinimosi ir specializacijos centras; pažymėjimas „Darbas su dentaliniais rentgeno aparatais“.
- 1999–2000 m. Švedijos Malmės universiteto Odontologijos fakulteto Burnos bei veido ir žandikaulių radiologijos departamentas, podiplominės studijos; stomatologijos magistro laipsnis ir diplomas.
- 2006 m. balandžio 26–28 d. Vilniaus universiteto Medicinos fakulteto Odontologijos institutas; pažymėjimas „Darbo specifika dirbant su panoramine įranga odontologijoje“.

### **Darbo vietas ir pareigos:**

- Vilniaus universiteto Medicinos fakulteto Odontologijos instituto asistentė; sritis – radiologija odontologijoje. Darbas su studentais, gydytojais rezidentais ir gydytojų kvalifikacijos tobulinimo srityje.
- VšĮ Vilniaus universiteto ligoninės Žalgirio klinika vyr. ordinatorė radiologijai.
- UAB „Helika“, UAB „Skraidenta“ gydytoja periodontologė.

### **Narystė:**

- Lietuvos periodontologų draugija; 1998–1999 m. ir nuo 2001 m.
- International Association of Dentomaxillofacial Radiology; nuo 2001-01-22.
- European Academy of DentoMaxilloFacial Radiology; nuo 2004-06-19.
- Lietuvos Respublikos odontologų rūmų; nuo 2004 m.

### **Mokymo priemonės:**

- Pūrienė A., Matulienė G., Ivanauskaitė D.. Periodonto ligos: periodontologinis tyrimas, diagnostė, gydymo planavimas ir prognozė. Etnomedijos spauda: Vilnius, 2000.
- Pečiulienė V., Manelienė R., Rimkvičienė J., Drukteinis S., Klimaitė R., Ivanauskaitė D., Pletkus R. Klinikinė endodontologija. Sapnų sala: Vilnius 2007: 26-45.
- Baseckas M., Čepulis V., Grybauskas V., Ivanauskaitė D., ir kt. Veido, žandikaulių ir burnos chirurgija. Vaistų žinios. Vilnius 2008. 90-129.
- Pūrienė A., Budginaitė R., Bendinskaitė R., Kairienė E., Matulienė G., Ivanauskaitė D., ir kt. Burnos higienisto veikla: teorija ir praktika. Vaistų žinios. Vilnius 2008. 168-206.
- Kaušylienė A., Elijošaitienė V., Kairienė E., Ivanauskaitė D., ir kt. Gydytojo odontologo padėjėjo veikla: teorija ir praktika. Vaistų žinios. Vilnius 2008. 519-609.
- Žekoničė J., Ivanauskaitė D., Pūrienė A. Kraštinių periodontas ir jo patologija. UAB „Progetrus“ poligrafijos centras. Vilnius 2008.
- Žiūrys A., Ivanauskaitė D. Dantų rentgeno nuotraukos. Senoja, Vilnius 2009.

### **Kita:**

32 straipsnių bendraautorė; 3 stendinių ir 8 žodinių pranešimai, 36 paskaitos, 23 tarptautinių kongresų dalyvė.

## About the author

**Deimantė Ivanauskaitė**

Birth date: 16<sup>th</sup> of May, 1973

### **Educational background:**

- Salininkai secondary school, Vilniaus r., Lithuania (1980–1991).
- Faculty of Dentistry, Kaunas Medical Academy, Lithuania (1991–1996); DIPLOMA – Medical doctor in dentistry (dentist physicist).
- Kaunas Medical Academy, Lithuania; postgraduate study (1996–1997); Certificate – Dentist general practitioner.
- Clinic of Stomatology, Vilnius University, Lithuania, secondary postgraduate study (1997-1998); Certificate – Specialist in Periodontology.
- Department of Oral and Maxillofacial Radiology, Faculty of Odontology, Malmö University, Malmö, Sweden (1999-2000); Master of Dental Science.

### **Current position:**

- Institute of Odontology of Medical Faculty of Vilnius University; assistant (field of Oral and Maxillofacial Radiology).
- Žalgirio Clinic of Hospital of Vilnius University; head of Subdivision of Radiology.
- Joint-stock companies: "Helika" and "Skradenta"; dentist in periodontology.

### **Association (s):**

- Member of the Lithuanian Association of Periodontology; 1998-1999 and since 2001.
- Member of the International Association of Dentomaxillofacial Radiology since 22-1-2001.
- Member of European Academy of DentoMaxilloFacial Radiology since 19-6-2004.
- Member of Lithuanian Dental Chamber since 2004.

**Other:** Co-author of 7 books; 32 publications; 3 poster presentations; 8 oral presentations; 36 lectures; 23 International congresses.

## **Padėka**

Šio darbo autorė nuoširdžiai dėkoja Švedijos institutui už paramą (Ref. Nr. 2419/1998 (380/123) ir suteiktą galimybę 1999–2000 metais stažuotis Švedijos Malmės universiteto Odontologijos fakulteto Burnos bei veido ir žandikaulių radiologijos departamente.